

# Um "POEMMA": detector de partículas cósmicas ultra energéticas

Angela V. Olinto



THE UNIVERSITY OF  
CHICAGO

FÍSICA EM  
CASA

[outreach.tctp-saifr.org](http://outreach.tctp-saifr.org)

Quintas-feiras  
19h • pelo canal  
SAIFR Divulga!



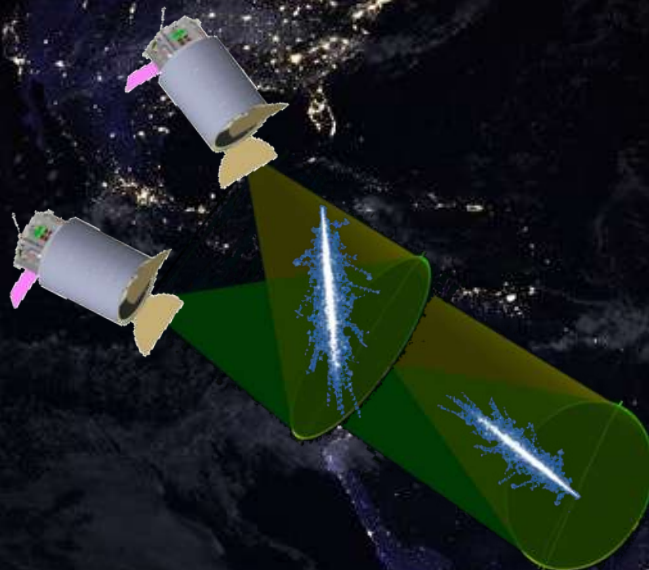
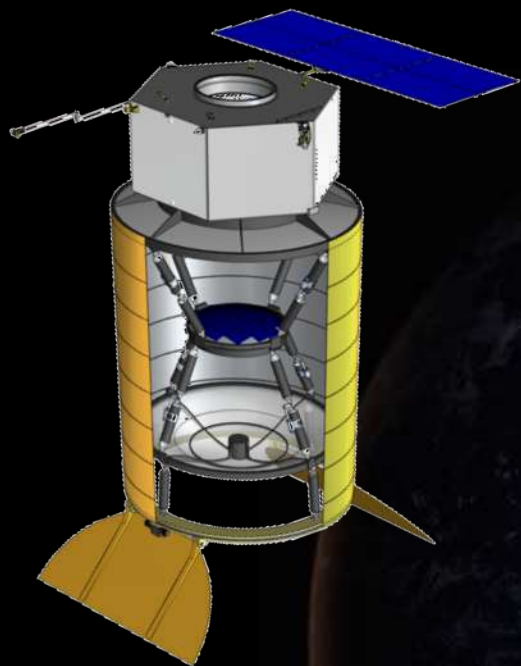
ICTP  
SAIFR

International Centre  
for Theoretical Physics  
South American Institute  
for Fundamental Research



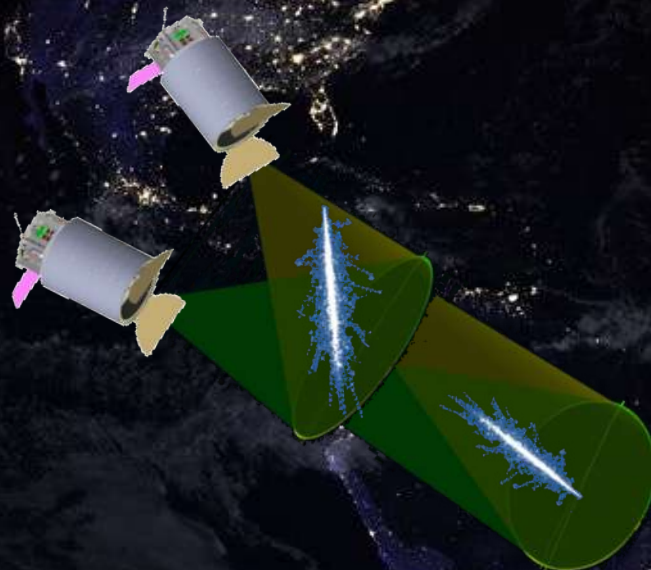
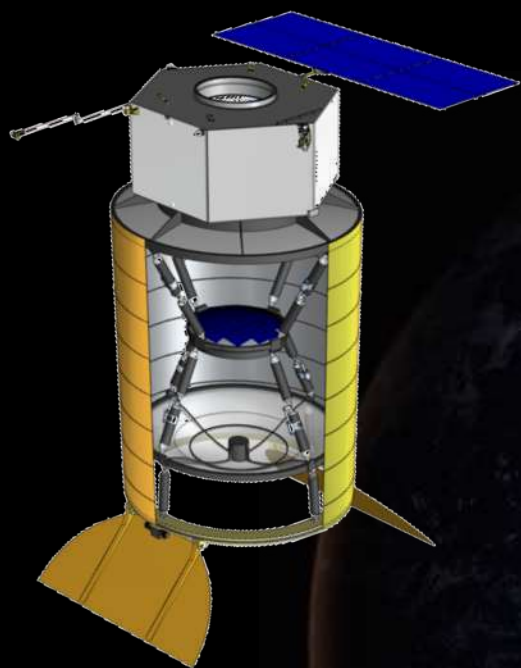
13/8 • UM "POEMMA"  
DETECTOR DE PARTÍCULAS  
CÓSMICAS ULTRA-ENERGÉTICAS  
Angela V. Olinto (Universidade de Chicago)

# POEMMA



**Probe Of Extreme Multi-Messenger Astrophysics**  
(Sonda da Astrofísica de Multi-Mensageiros Extremos )

# POEMMA



**Probe Of Extreme Multi-Messenger Astrophysics**  
(Sonda da Astrofísica de Multi-Mensageiros Extremos )

Para descobrir a origem dos  
Neutrinos e Raios-Cósmicos Ultra-Energéticos

Multi-Mensageiros?

Raios-Cósmicos?

Neutrinos?

Ultra-Energéticos?

André de Gouvêa — Northwest

# Neutrinos: O Que São e Para Que Servem?

André de Gouvêa  
Northwestern University



**ICTP SAIFR**

**Física Em Casa**

30/07/2020



# FÍSICA EM CASA

outreach.ictp-saifr.org

Quintas-feiras  
19h • pelo canal  
SAIFR Divulga!

## Aceleradores Cósmicos de Partículas: Buracos Negros e Jatos Supersônicos

→  
**Elisabete de Gouveia Dal Pino**  
*IAG - Universidade de São Paulo*



Física em Casa, 16 de julho, 2020





## Astronomia de ondas gravitacionais

Riccardo Sturani

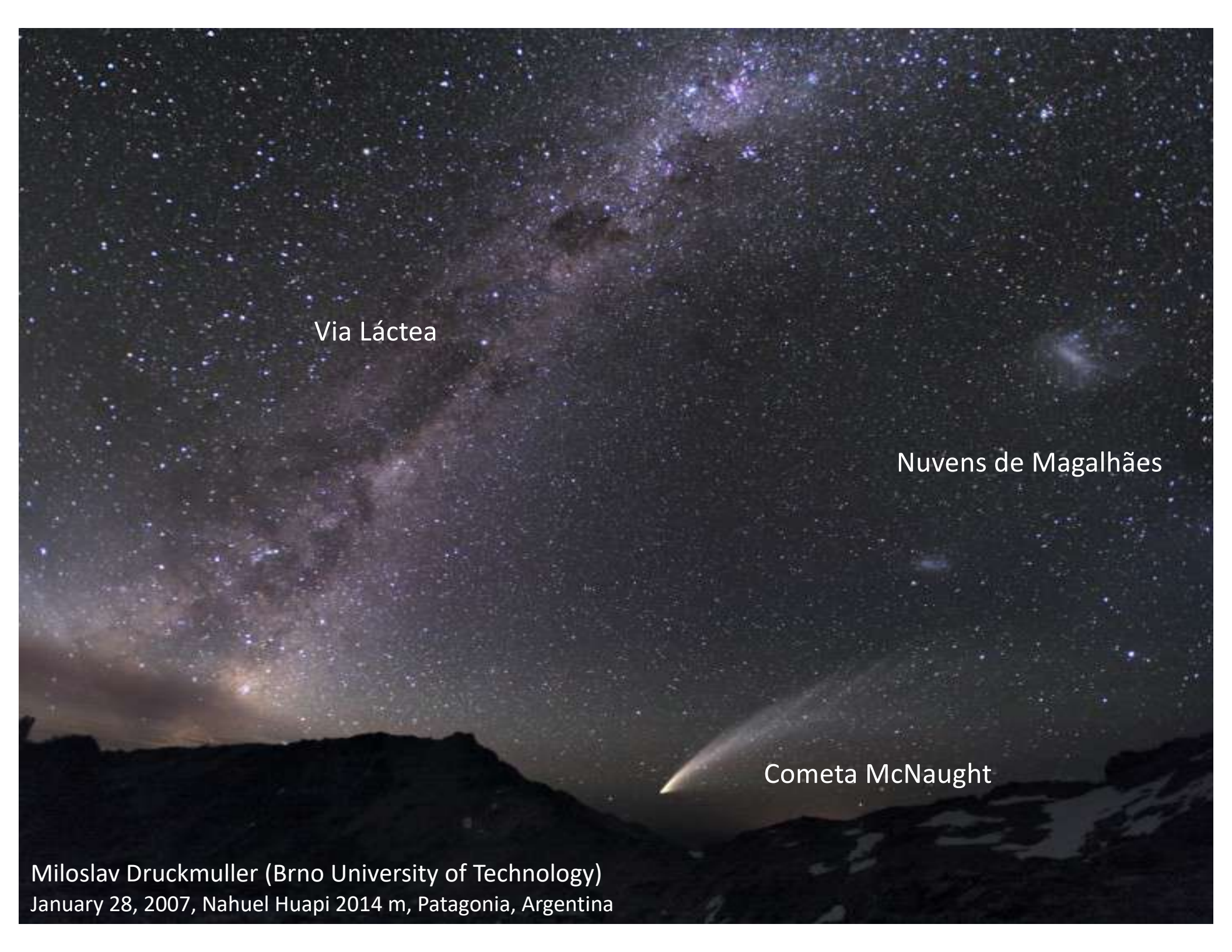
Instituto Internacional de Física - UFRN - Natal  
riccardo@iip.ufrn.br

Física em casa - 4 Junho 2020









Via Láctea

Nuvens de Magalhães

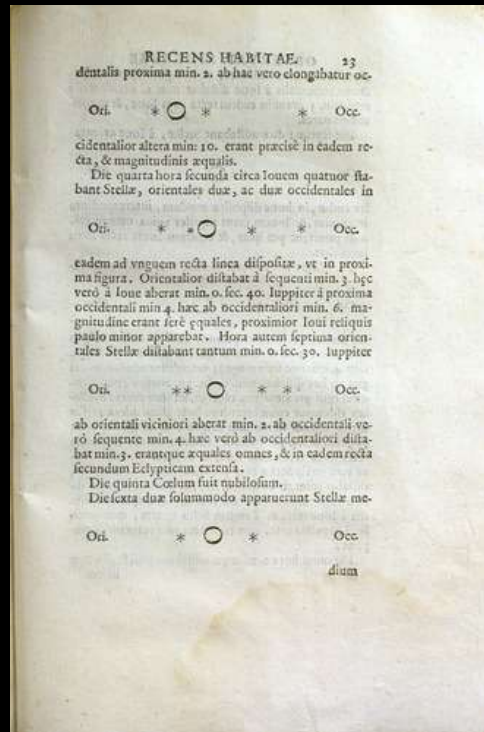
Cometa McNaught

Miloslav Druckmuller (Brno University of Technology)  
January 28, 2007, Nahuel Huapi 2014 m, Patagonia, Argentina

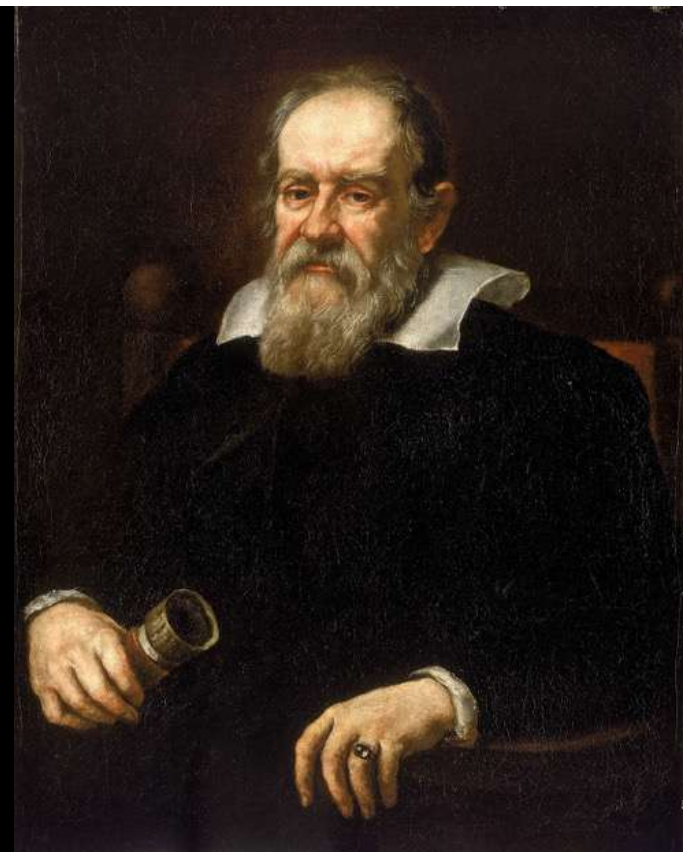


Galileo mostra ao Doge de Veneza o poder do telescope (fresco de Giuseppe Bertini)

## Sidereus Nuncius 1610 Mensagem Sideral ou Estrelado



Ganymede



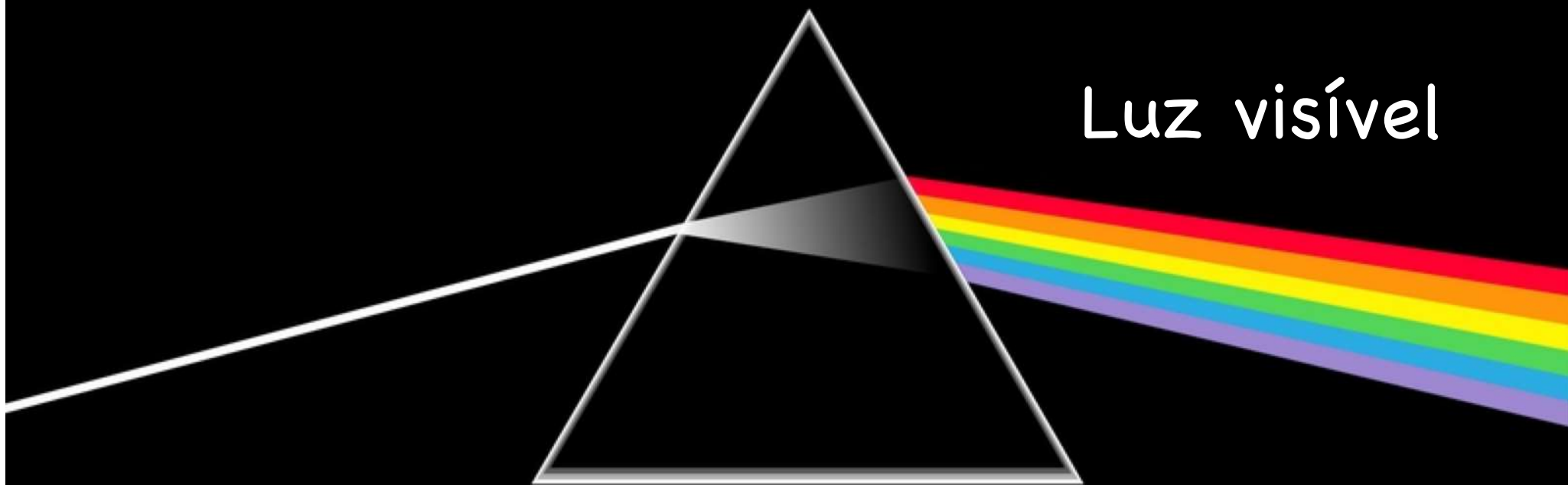
Galileo Galilei 1609 constrói telescópio começa **astronomia observacional** (ondas ópticas ou visíveis).



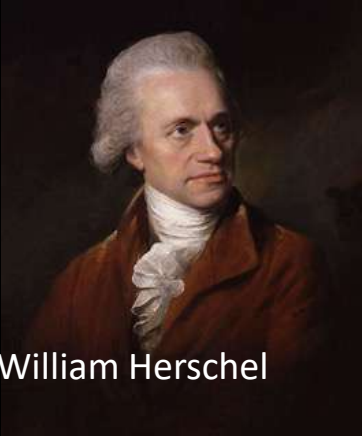
Fases de Venus

4 satélites de Jupiter (luas de Galileo): Europa, Ganímedes, Io e Calisto

pink floyd  
the dark side of the moon



1800 William Herschel da **luz infra-vermelha** do Sol. 1830-60 inicio da astronomia infra-vermelha.



William Herschel

1887 Heinrich Hertz produz **ondas de rádio** previstas por Maxwell

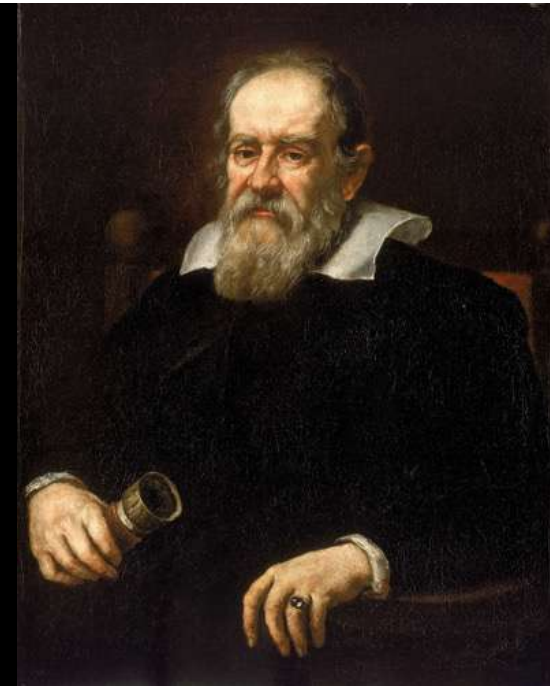


James Clerk Maxwell    Heinrich Rudolf Hertz

1931 Karl Jansky descobriu ondas de radio emitidas pela Via Láctea.



Karl G. Jansky

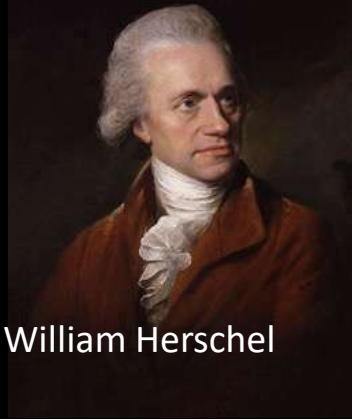


Galileo Galilei 1609 constrói telescópio começa astronomia (ondas ópticas ou visíveis).

1800 William Herschel da **luz infra-vermelha** do Sol. 1830-60 início da astronomia infra-vermelha.



William Herschel



James Clerk Maxwell



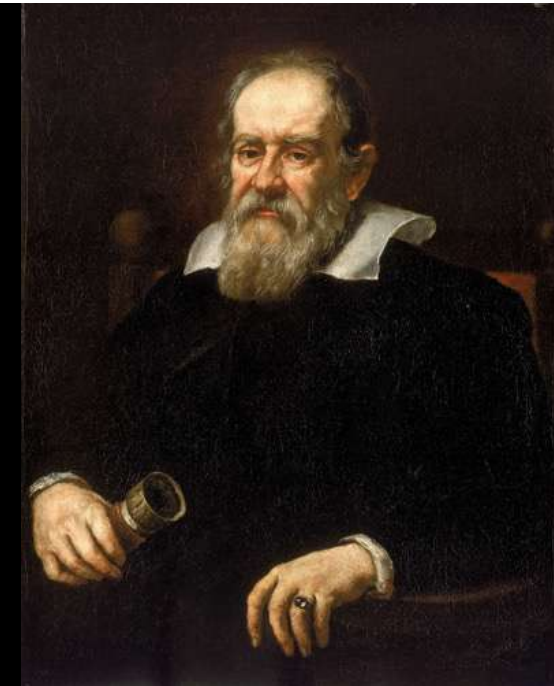
Heinrich Rudolf Hertz

1887 Heinrich Hertz produz **ondas de rádio** previstas por Maxwell

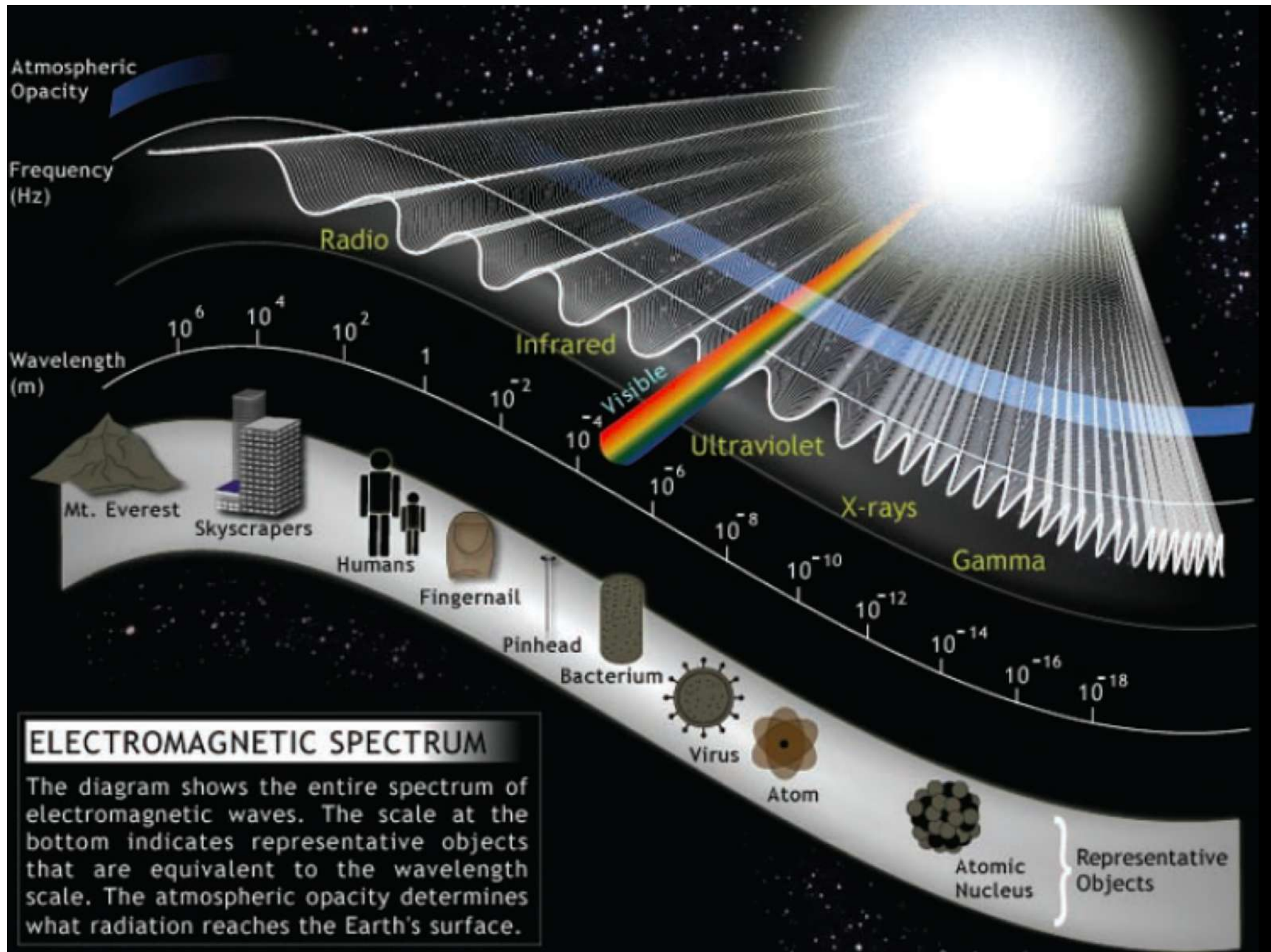
1931 Karl Jansky descobriu ondas de radio emitidas pela Via Láctea.



Karl G. Jansky



Galileo Galilei 1609 constrói telescópio começa astronomia (ondas ópticas ou visíveis).

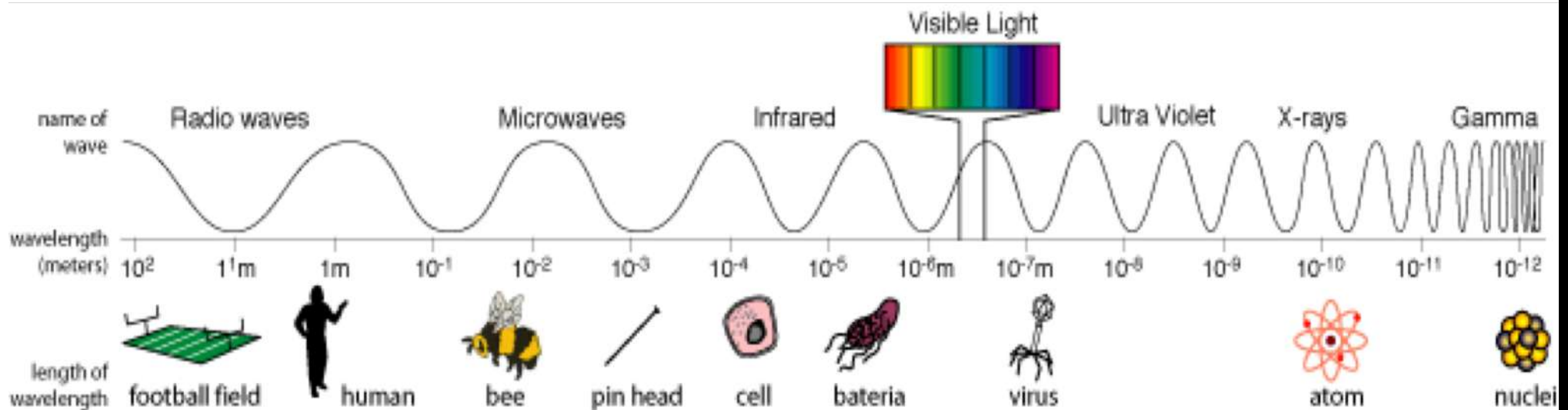


## ELECTROMAGNETIC SPECTRUM

The diagram shows the entire spectrum of electromagnetic waves. The scale at the bottom indicates representative objects that are equivalent to the wavelength scale. The atmospheric opacity determines what radiation reaches the Earth's surface.

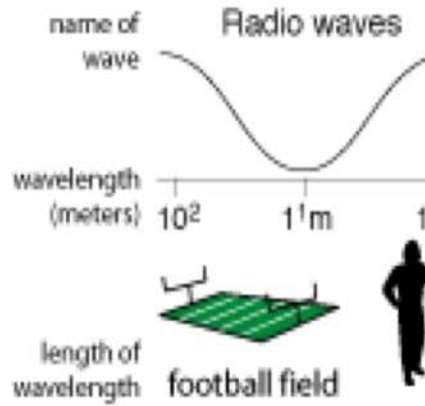
# Espectro Eletromagnético ou "Luz"

15 ordens de grandeza  
equivalente a 5 "pianos"



Astronomia Multi-Frequência ou Multi-Wavelength (comprimento de onda)

# Telescópios de Rádio



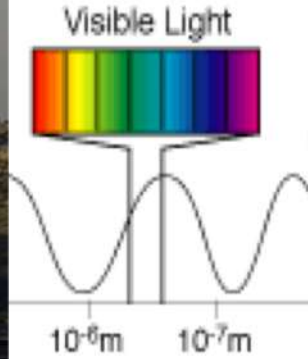
ALMA  
Atacama Large Millimeter Array



Gran Telescopio Canarias (GTC)



# Telescópios Ópticos



HUBBLE space Telescope



Magellan Telescopes – Las Campanas (Chile)



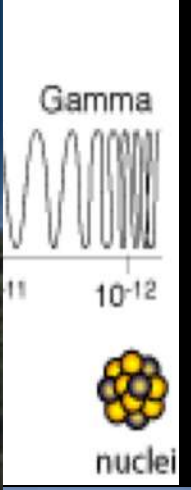
Keck Telescopes – Mauna Kea (Hawaii)

Fermi Space Gamma-ray Telescope



# Telescópios de Raios Gamma

HESS Telescopes

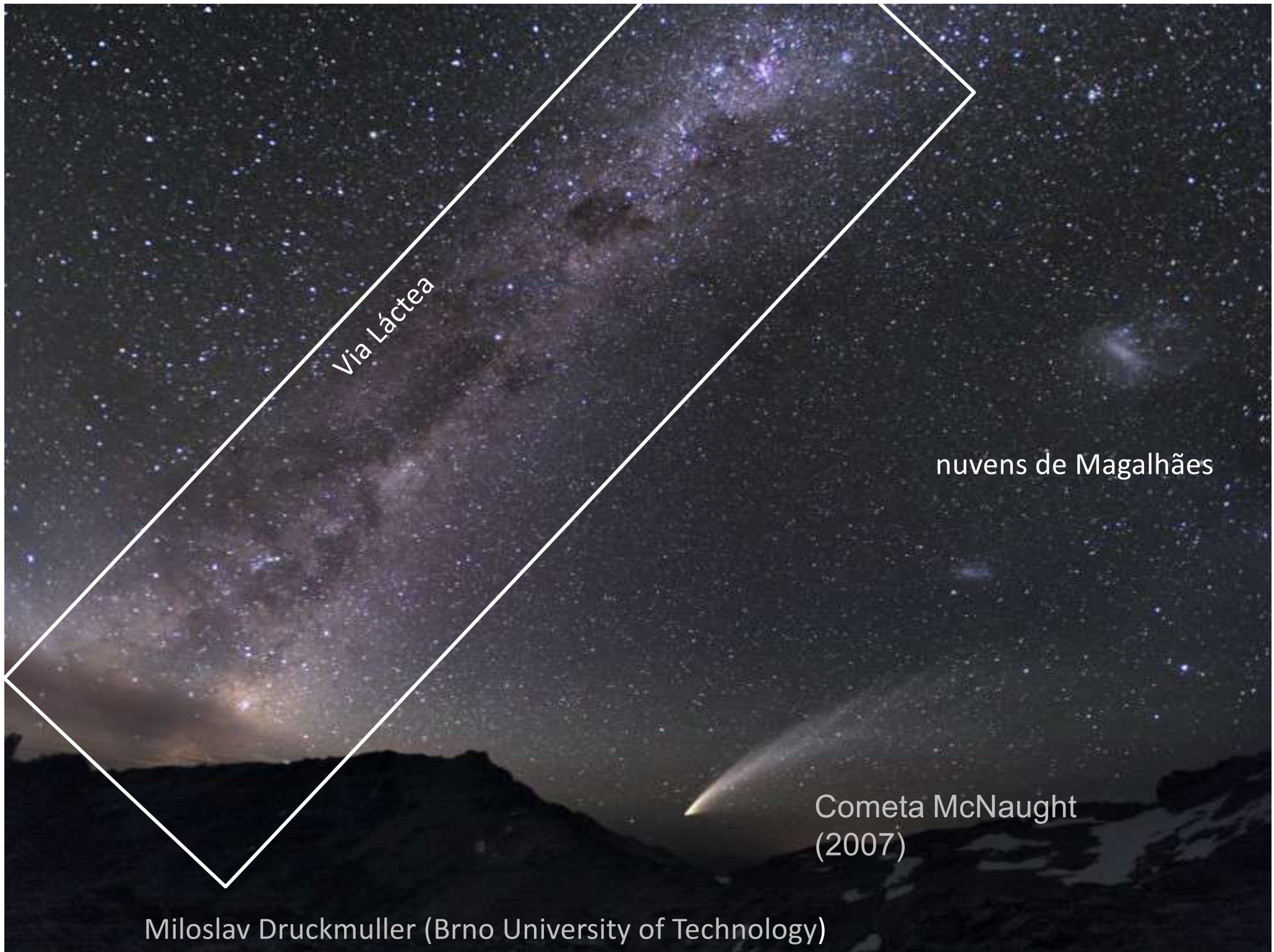


MAGIC Telescopes



VERITAS Telescopes





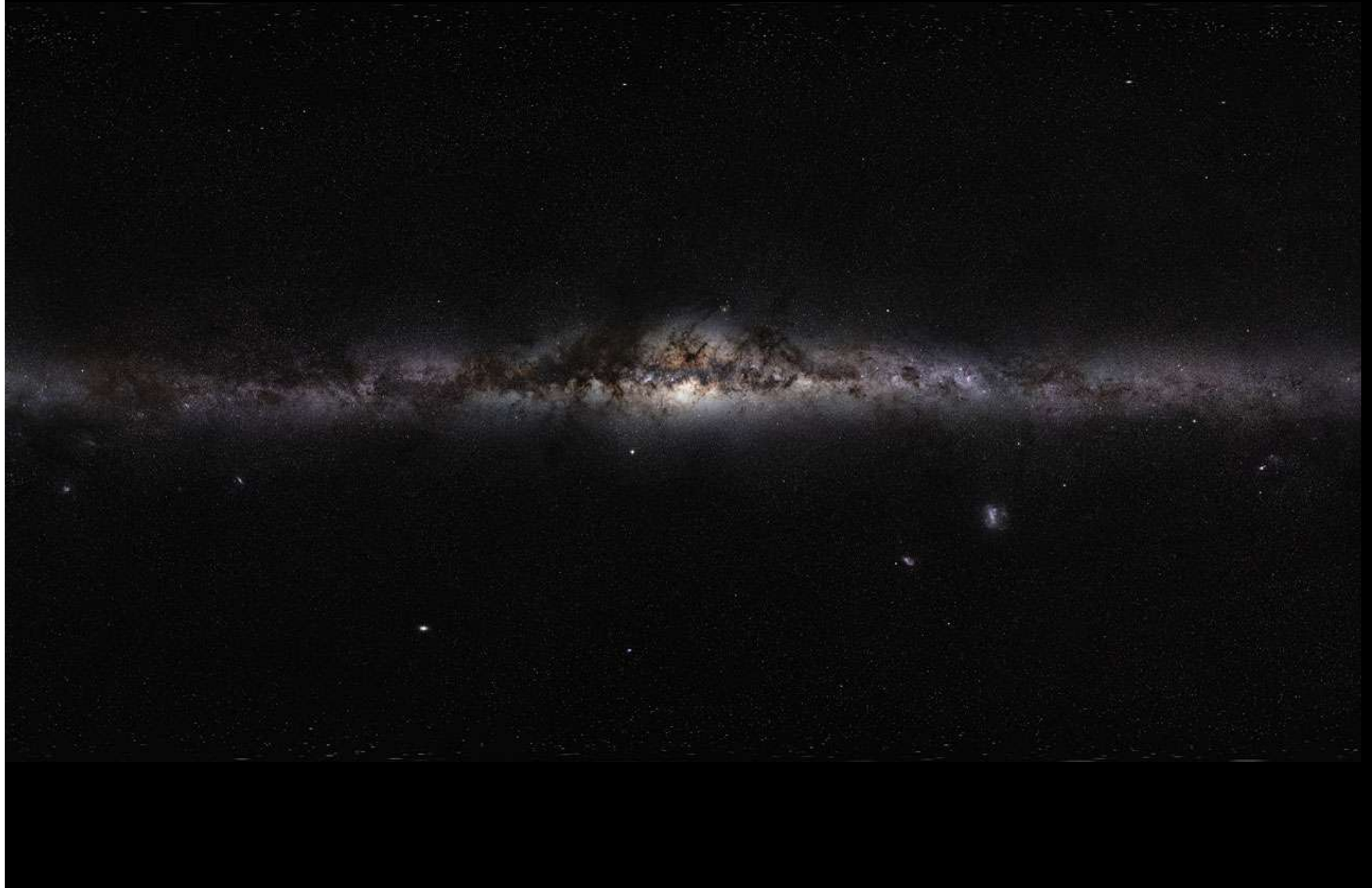
Via Láctea

nuvens de Magalhães

Cometa McNaught  
(2007)

Miloslav Druckmuller (Brno University of Technology)

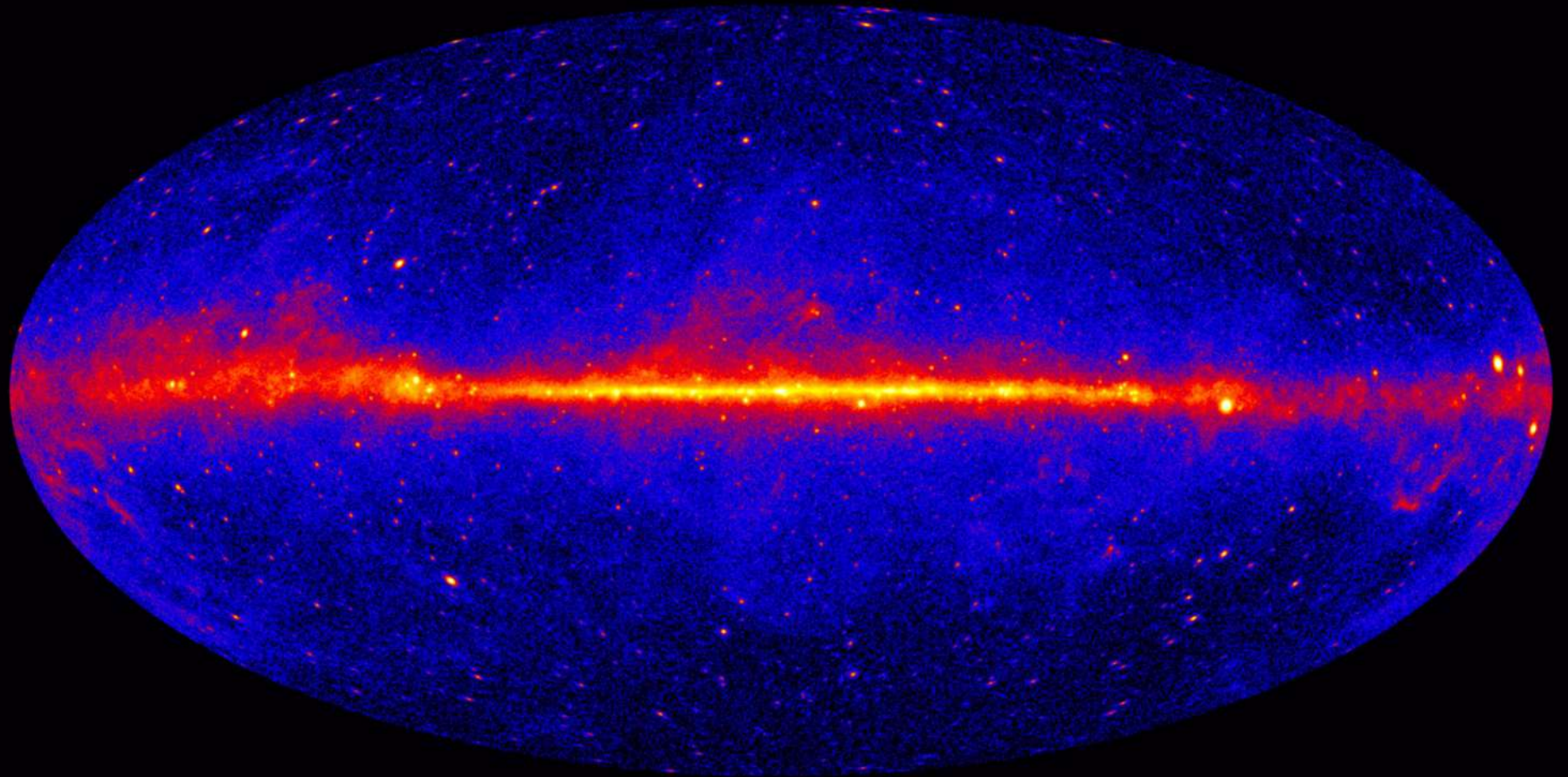
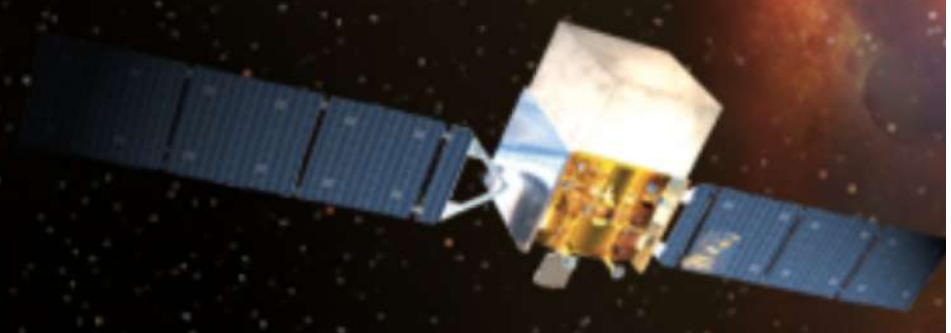
Via Láctea  
vista em Luz Visível



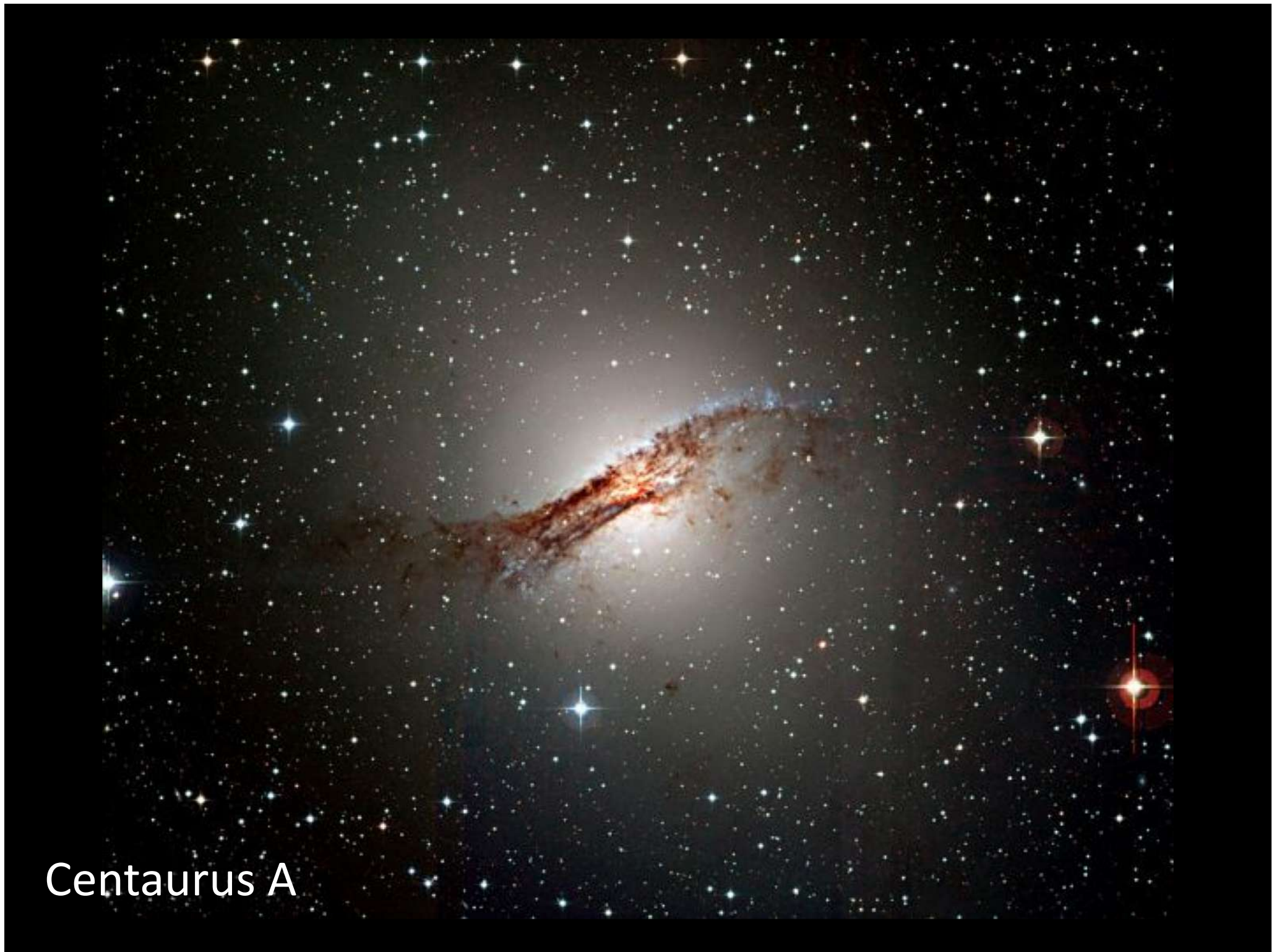


Infra-vermelho

*Fermi*  
Gamma-ray  
Space Telescope



Via Láctea em  
Raios Gamma

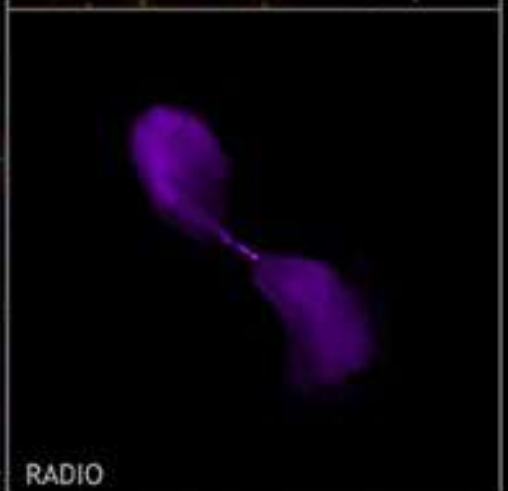


Centaurus A



Centaurus A em ondas de Rádio

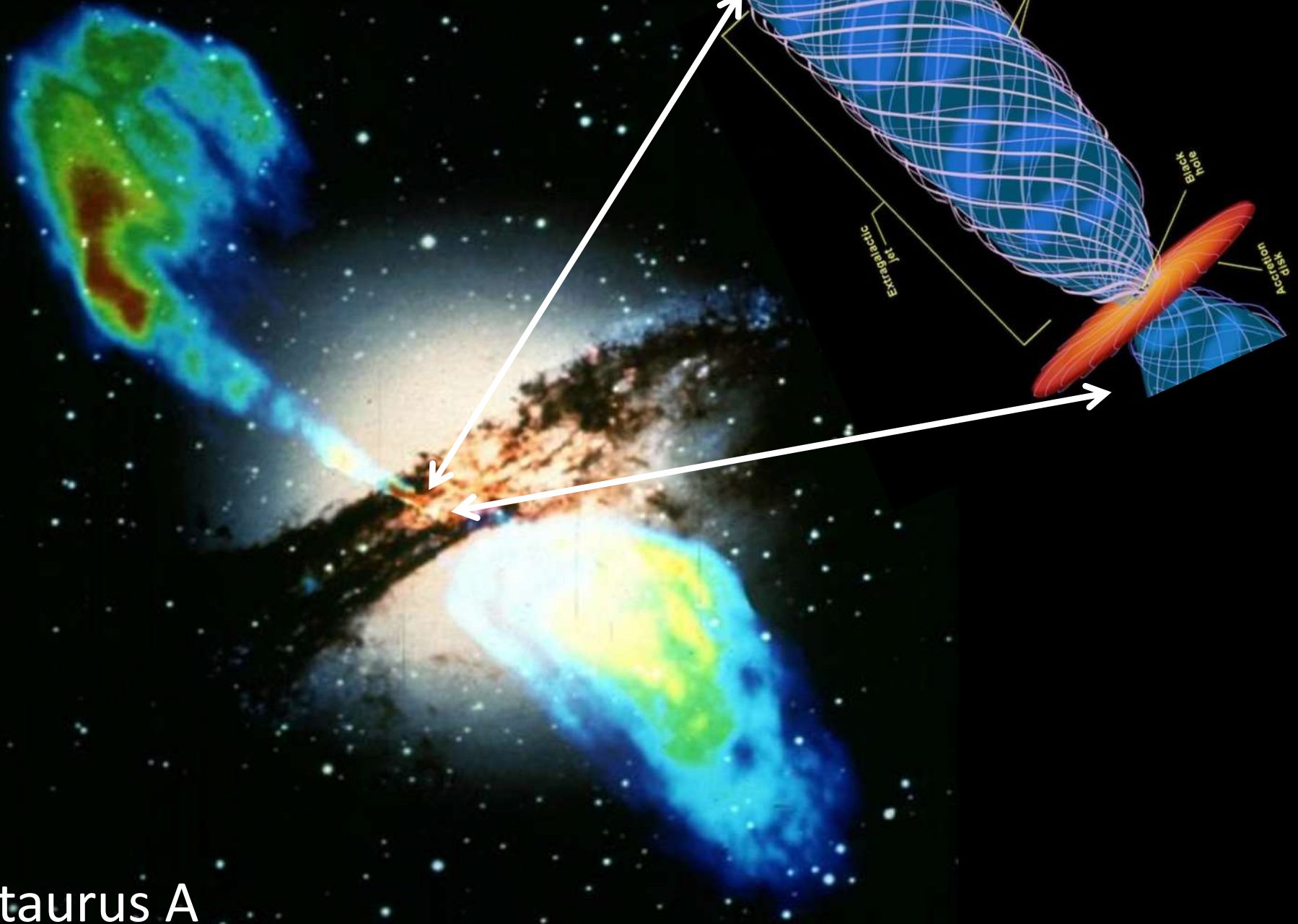
# Centaurus A



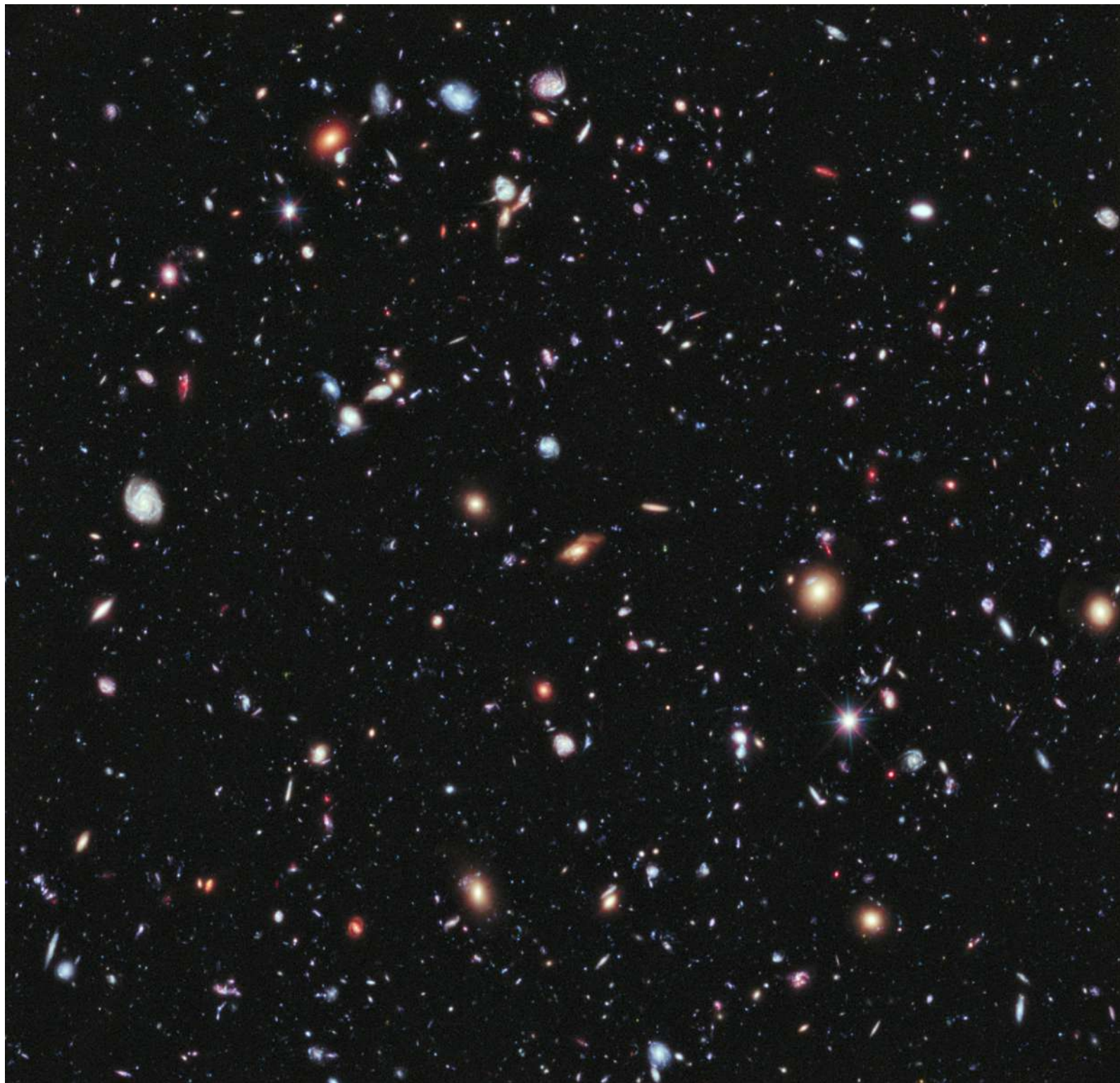
COMPOSITE

OPTICAL

# Núcleos Galácticos Ativos



Centaurus A



Hubble eXtreme Deep  
Field,  $2 \times 2.3 \text{ arcmin}^2$   
5,500 galáxias

Observable Universe  
 $\sim 2$  Trilhões galáxias

# Seeing back into the cosmos

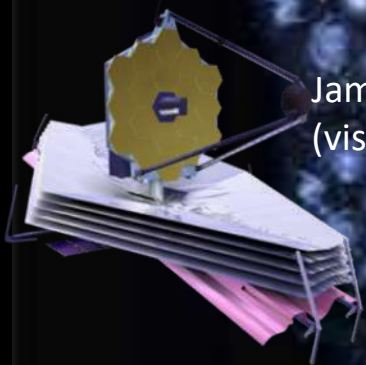
Hubble Space Telescope, 2.4 m  
Near-infrared, visible light, ultraviolet



HST GOODS /  
CHANDRA  
DEEP FIELD

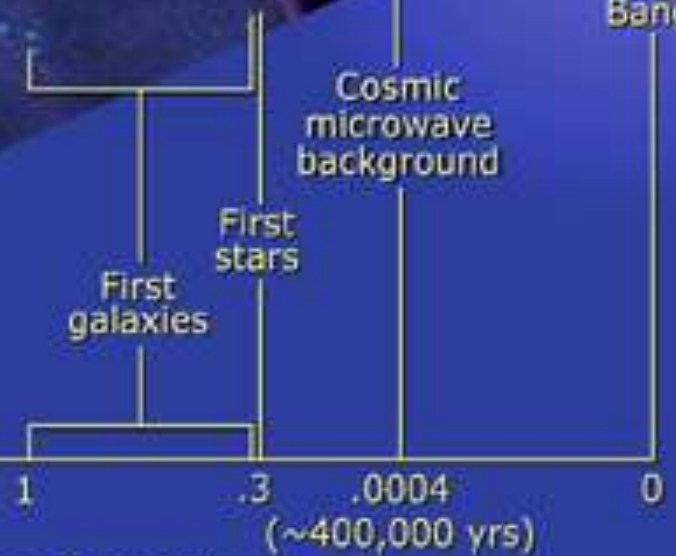
JWST

James Webb Space Telescope  
(visible to infrared, 6.5 m)



Modern  
universe

13.7



Age of the universe (billions of years)

Imagem do Universo com  
380,000 anos!



*PLANCK*

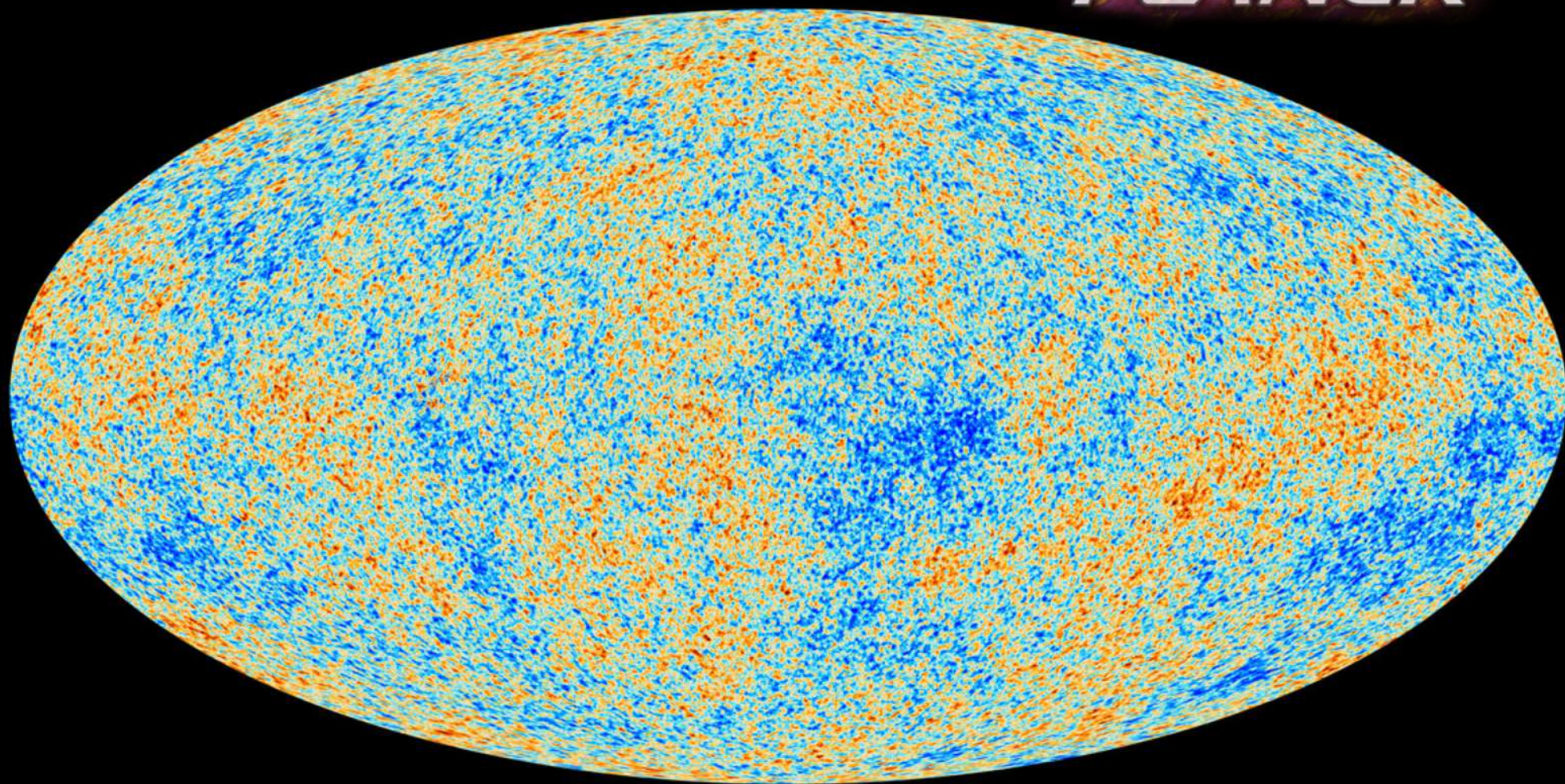
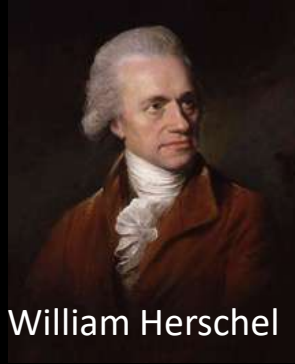


Imagem em Micro-ondas

1800 William Herschel da **luz infra-vermelha**



William Herschel

1887 Hertz produz **ondas de rádio**  
previstas por Maxwell



Heinrich Rudolf Hertz

James Clerk Maxwell

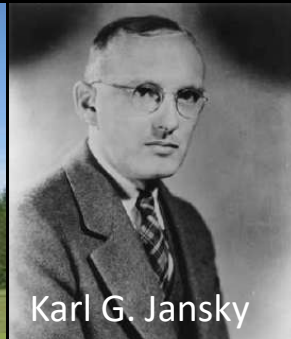
1912 Victor Hess descobriu que raios ionizantes  
são raios cósmicos

núcleos atômicos  
primeiros mensageiros distantes  
não electromagnéticos

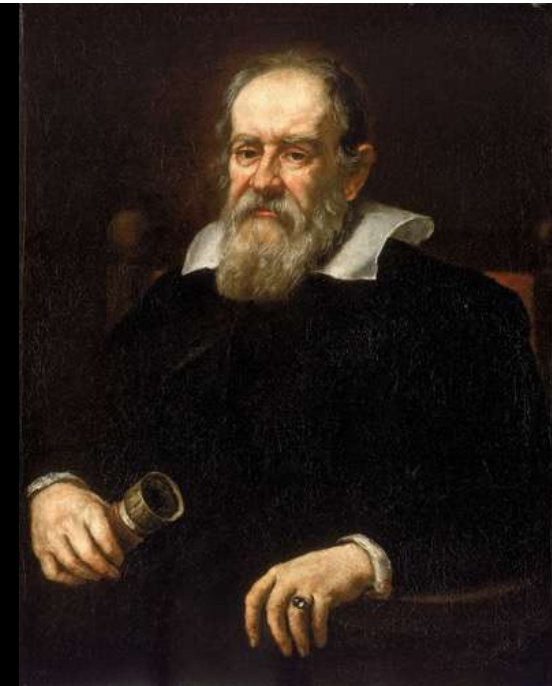


Victor/Franz Hess

1931 Karl Jansky descobriu ondas de radio emitidas pela Via Láctea.

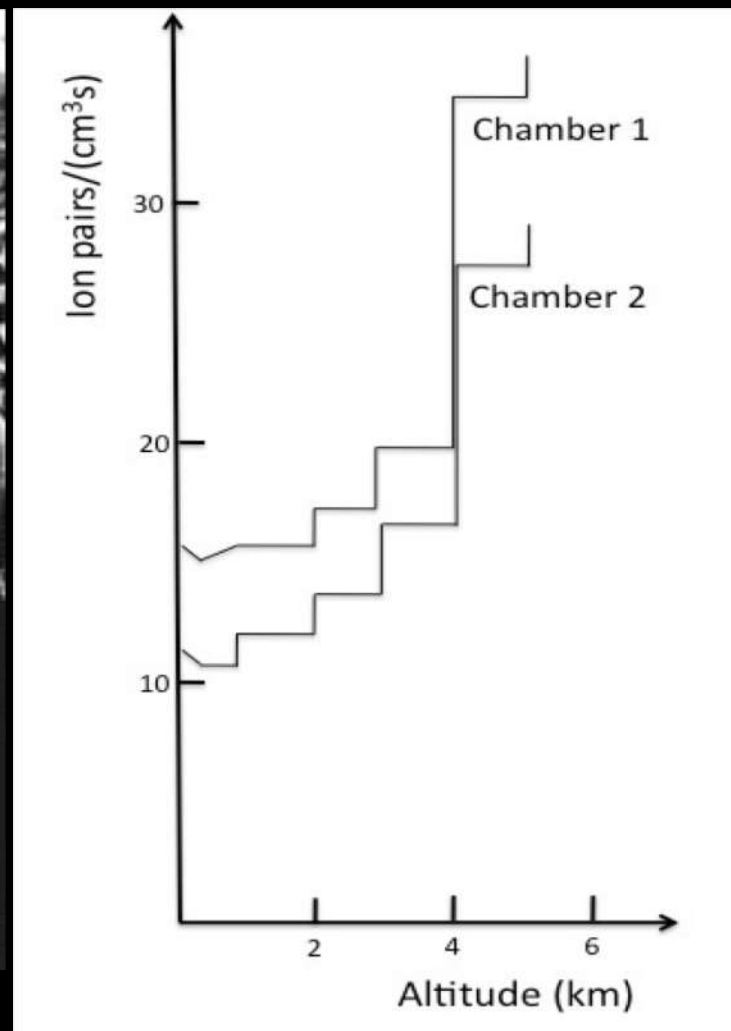


Karl G. Jansky



Galileo Galilei 1609 constrói  
telescópio começa astronomia  
(ondas ópticas ou visíveis).

# 1912 Descoberta dos Raios C3smicos



Victor Hess

mostra que radiação ionizante vem de fora da Terra

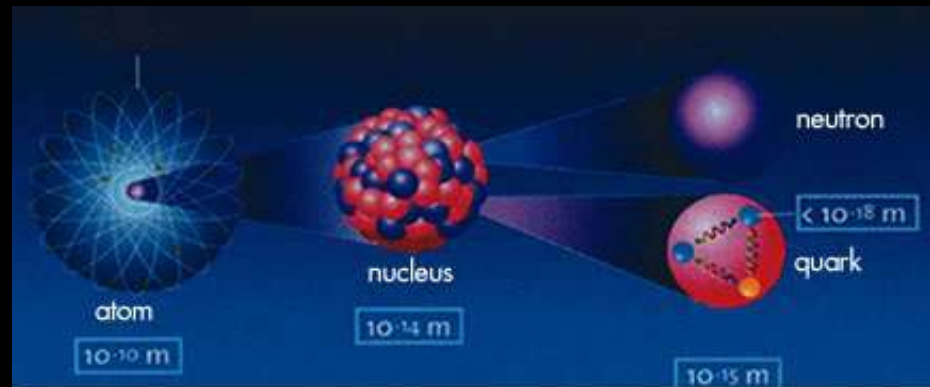
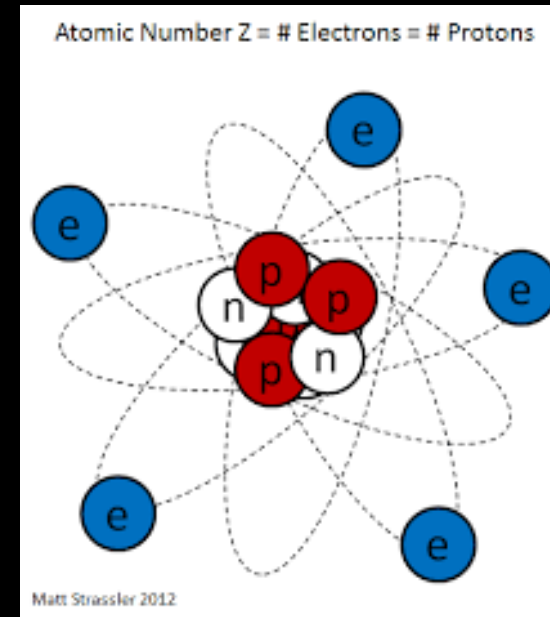
# Raios C3smicos

n3ucleos at3micos, relativisticos (altamente energ3ticos):

Group → 1 2 3 4 5 6 7 8 9 10 11 12 13 14 15 16 17 18  
↓ Period

**Mat3ria Comum = 3tomos**

1	2																2
H	He																
3	4								5	6	7	8	9	10			
Li	Be								B	C	N	O	F	Ne			
11	12								13	14	15	16	17	18			
Na	Mg								Al	Si	P	S	Cl	Ar			
19	20	21	22	23	24	25	26	27	28	29	30	31	32	33	34	35	36
K	Ca	Sc	Ti	V	Cr	Mn	Fe	Co	Ni	Cu	Zn	Ga	Ge	As	Se	Br	Kr
37	38	39	40	41	42	43	44	45	46	47	48	49	50	51	52	53	54
Rb	Sr	Y	Zr	Nb	Mo	Tc	Ru	Rh	Pd	Ag	Cd	In	Sn	Sb	Te	I	Xe
55	56		72	73	74	75	76	77	78	79	80	81	82	83	84	85	86
Cs	Ba		Hf	Ta	W	Re	Os	Ir	Pt	Au	Hg	Tl	Pb	Bi	Po	At	Rn
87	88		104	105	106	107	108	109	110	111	112	113	114	115	116	117	118
Fr	Ra		Rf	Db	Sg	Bh	Hs	Mt	Ds	Rg	Cn	Uut	Ff	Uup	Lv	Uus	Uuo
Lanthanides		57	58	59	60	61	62	63	64	65	66	67	68	69	70	71	
Actinides		89	90	91	92	93	94	95	96	97	98	99	100	101	102	103	
		La	Ce	Pr	Nd	Pm	Sm	Eu	Gd	Tb	Dy	Ho	Er	Tm	Yb	Lu	
		Ac	Th	Pa	U	Np	Pu	Am	Cm	Bk	Cf	Es	Fm	Md	No	Lr	



Raios c3smicos = n3ucleos at3micos, relativisticos (altamente energ3ticos):  
Hidrogenio (protons), He, C, O, Fe, ...

# Raios C3smicos

n3ucleos at3omicos, relativisticos (altamente energ3eticos):  
Acelerados em regi3oes extremas do Universo – aonde?



Supernova e Pulsar do Caranguejo

Tamanho 11 ly (anos luz)  
Distancia 6,5 kly



Galaxia Centauros A

Tamanho 60,000 ly (anos luz)  
Distancia 10 Mly

Possivelmente em Explos3oes Estelares (Supernova), Choques interestelares,  
Choques intergal3acticos, Jatos de Buracos Negros Supermassivos, ...

# Matéria Comum = Quarks e Leptons

mass →	2.4 MeV/c <sup>2</sup>	1.27 GeV/c <sup>2</sup>	171.2 GeV/c <sup>2</sup>	0	≈126 GeV/c <sup>2</sup>
charge →	2/3	2/3	2/3	0	0
spin →	1/2	1/2	1/2	1	0
	 u up	 c charm	 t top	 γ photon	 H Higgs boson
	 d down	 s strange	 b bottom	 g gluon	
	 e electron	 μ muon	 τ tau	 Z Z boson	
	 ν <sub>e</sub> electron neutrino	 ν <sub>μ</sub> muon neutrino	 ν <sub>τ</sub> tau neutrino	 W W boson	
	<2.2 eV/c <sup>2</sup>	<0.17 MeV/c <sup>2</sup>	<15.5 MeV/c <sup>2</sup>	80.4 GeV/c <sup>2</sup>	
	0	0	0	±1	
	1/2	1/2	1/2	1	
<b>QUARKS</b>					<b>GAUGE BOSONS</b>
<b>LEPTONS</b>					

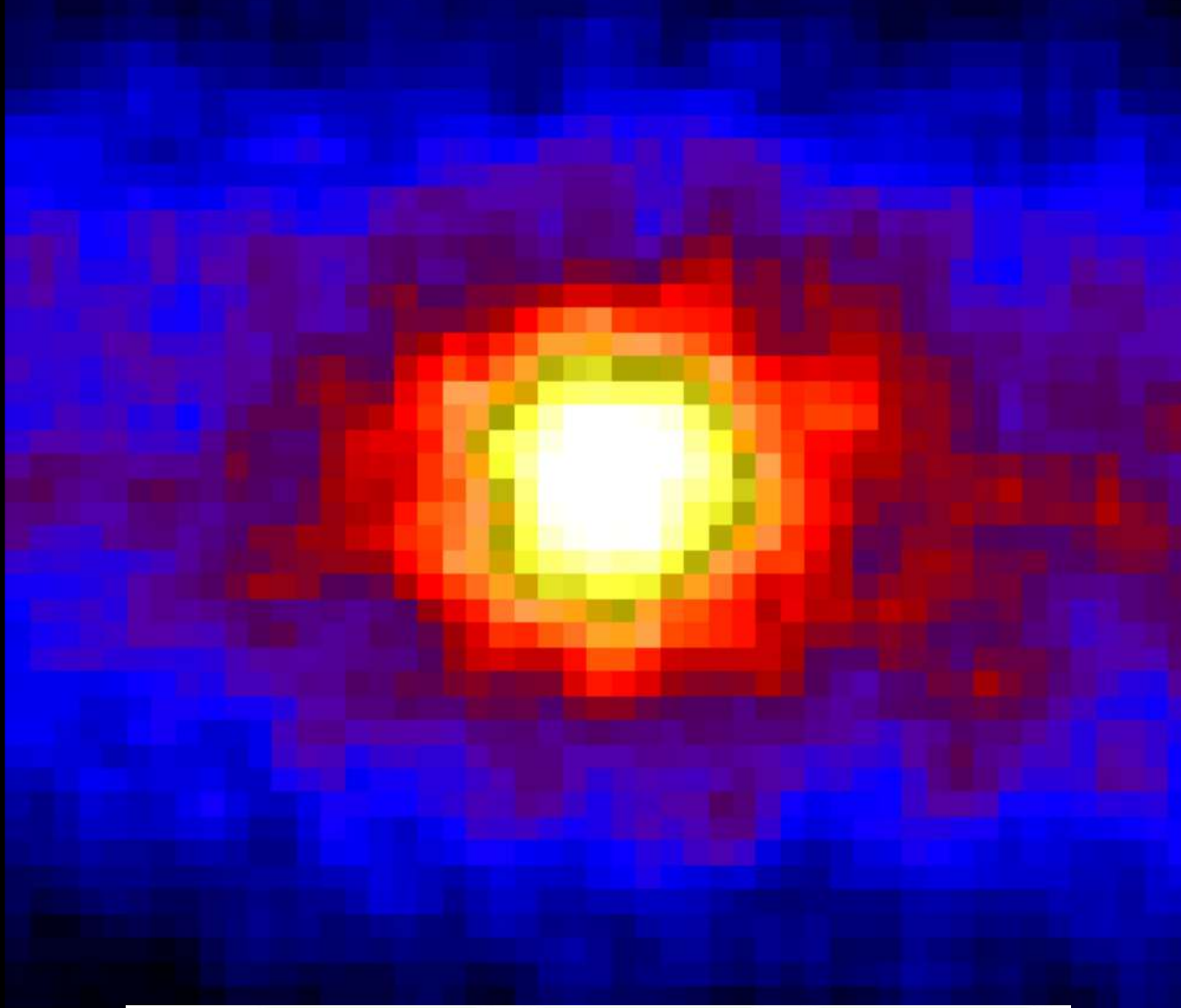
# Neutrinos

“uns 100 bilhões atravessam o seu polegar a cada segundo!”

A. de Gouveia (Fisica em Casa)

	mass →	2.4 MeV/c <sup>2</sup>	1.27 GeV/c <sup>2</sup>	171.2 GeV/c <sup>2</sup>	0	≈126 GeV/c <sup>2</sup>
charge →	2/3	2/3	2/3	0	0	0
spin →	1/2	1/2	1/2	1	0	0
<b>QUARKS</b>		<b>u</b> up	<b>c</b> charm	<b>t</b> top	<b>γ</b> photon	<b>H</b> Higgs boson
	4.8 MeV/c <sup>2</sup>	104 MeV/c <sup>2</sup>	4.2 GeV/c <sup>2</sup>	0		
	-1/3	-1/3	-1/3	0		
	1/2	1/2	1/2	1		
	<b>d</b> down	<b>s</b> strange	<b>b</b> bottom	<b>g</b> gluon		
	0.511 MeV/c <sup>2</sup>	105.7 MeV/c <sup>2</sup>	1.777 GeV/c <sup>2</sup>	91.2 GeV/c <sup>2</sup>		
	-1	-1	-1	0		
	1/2	1/2	1/2	1		
	<b>e</b> electron	<b>μ</b> muon	<b>τ</b> tau	<b>Z</b> Z boson		
<b>LEPTONS</b>	<2.2 eV/c <sup>2</sup>	<0.17 MeV/c <sup>2</sup>	<15.5 MeV/c <sup>2</sup>	80.4 GeV/c <sup>2</sup>		
	0	0	0	±1		
	1/2	1/2	1/2	1		
	<b>ν<sub>e</sub></b> electron neutrino	<b>ν<sub>μ</sub></b> muon neutrino	<b>ν<sub>τ</sub></b> tau neutrino	<b>W</b> W boson		
					<b>GAUGE BOSONS</b>	

# O Sol em "Luz de Neutrinos"



## LEPTONS

$<2.2 \text{ eV}/c^2$

0  
1/2



electron  
neutrino

$<0.17 \text{ MeV}/c^2$

0  
1/2



muon  
neutrino

$<15.5 \text{ MeV}/c^2$

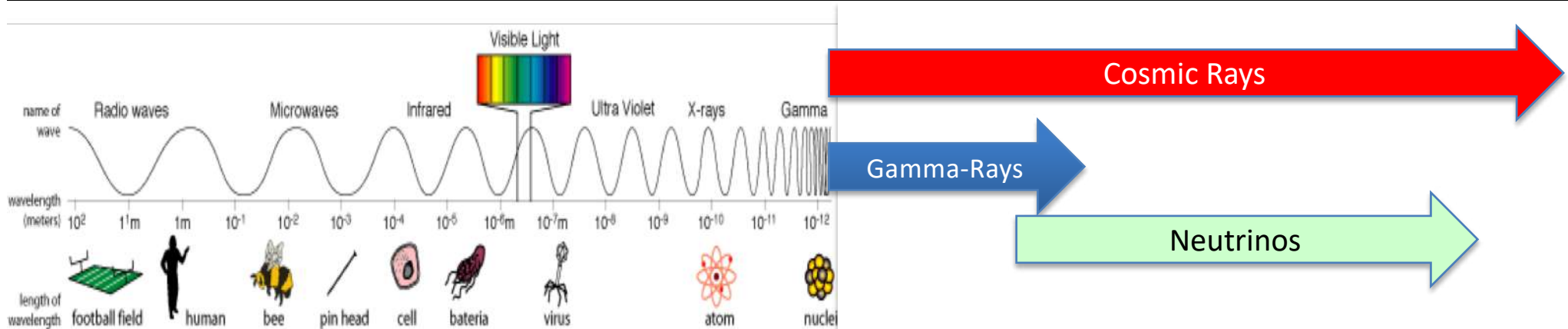
0  
1/2



tau  
neutrino

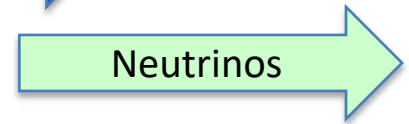
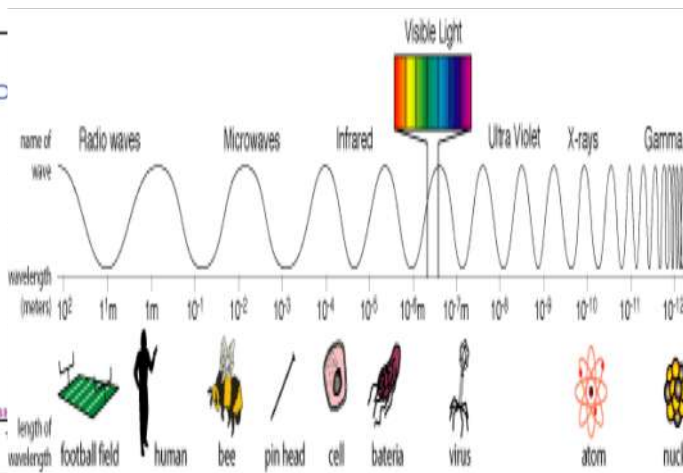
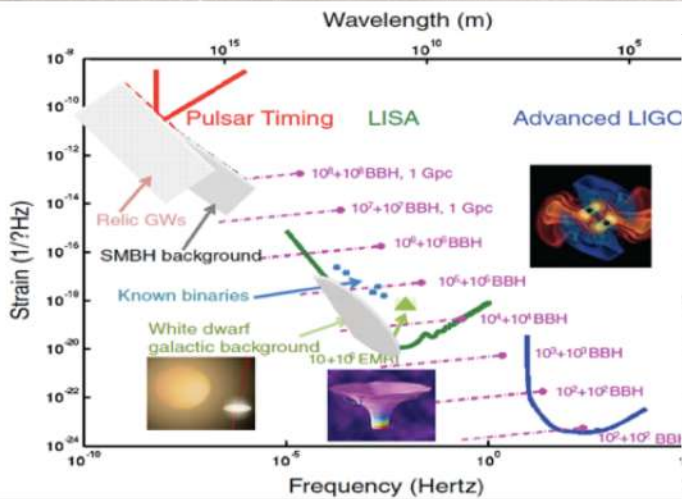
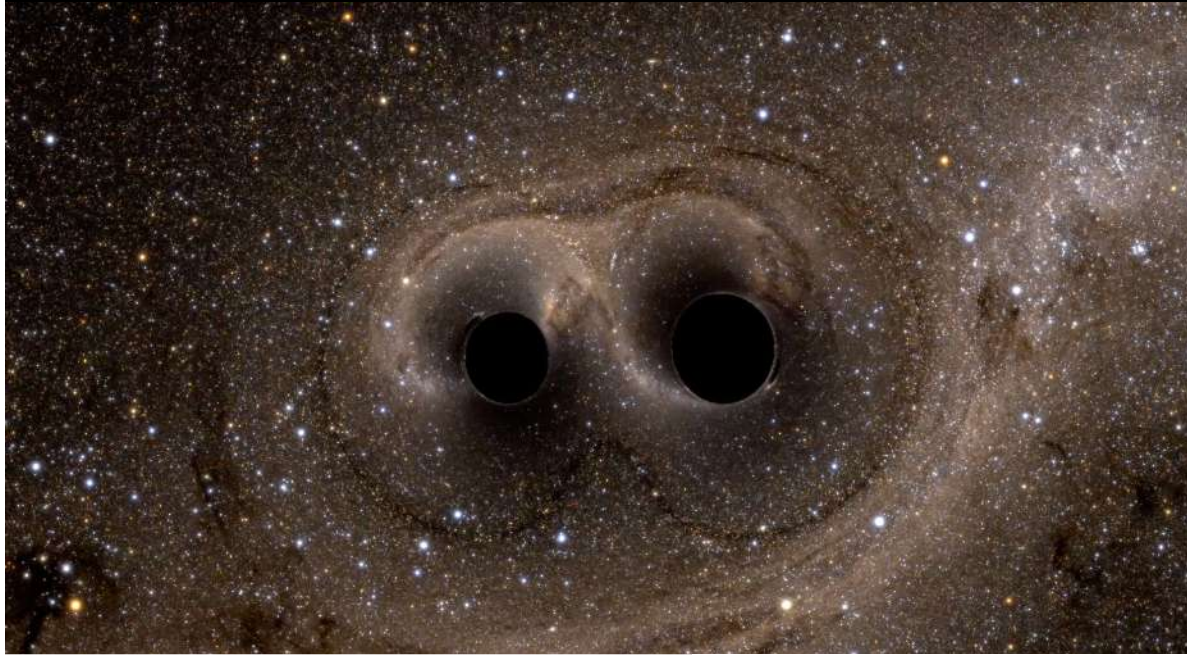
# Partículas Cósmicas

~ doblam o alcance da Astrofísica em energia



# Multi-Mensageiros

~ triplicam o alcance de energia da Astrofísica : 40 ordens de grandeza



Ondas Gravitacionais

Fótons ou Ondas Eletromagnéticas

Partículas Cóslicas

Multi-Mensageiros

Raios-Cósmicos

Neutrinos

Ultra-Energéticos

*MontBlanc*

# Large Hadron Collider @ CERN

alcance Energia  $10^{13}$  eV

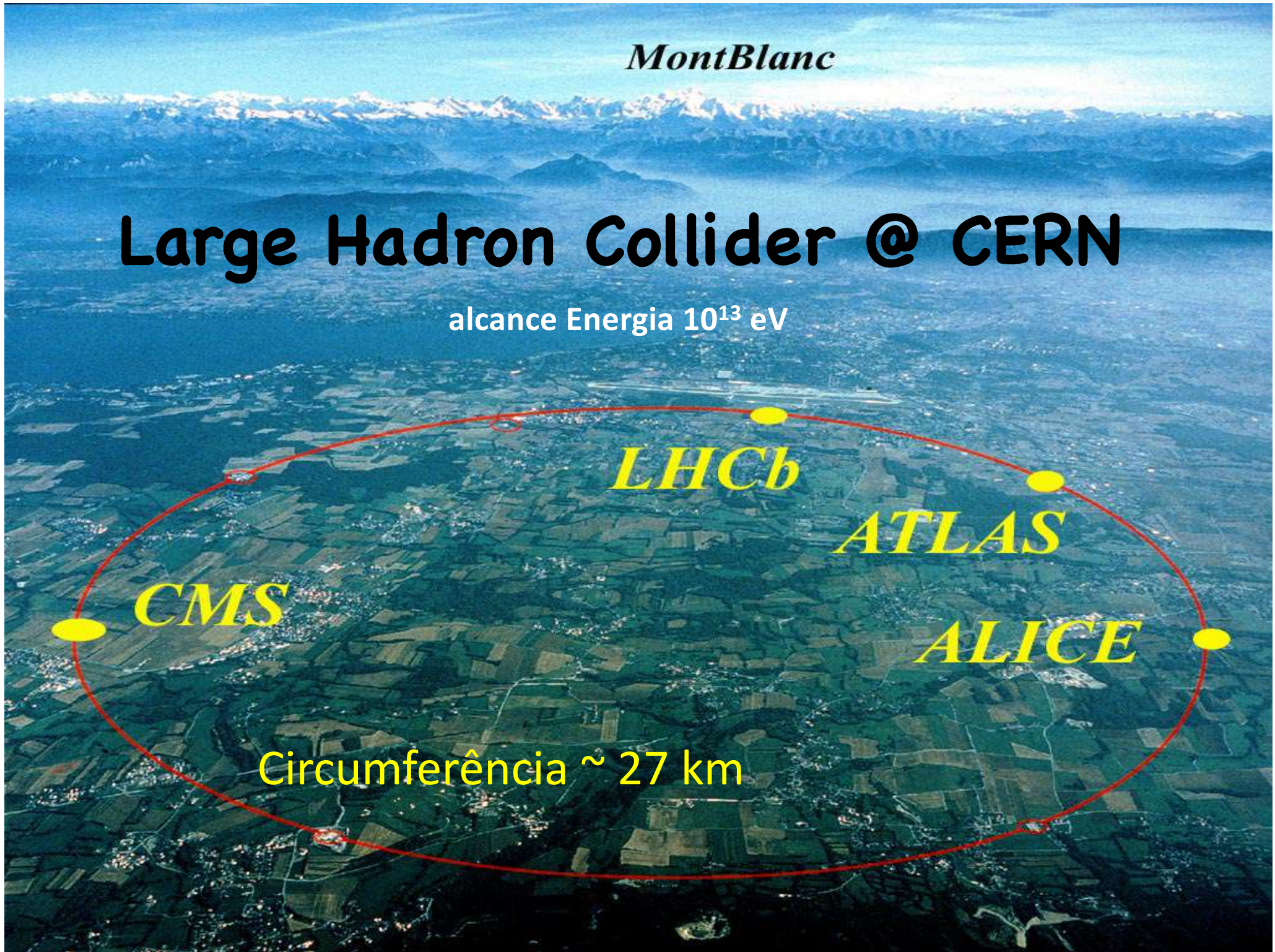
*LHCb*

*ATLAS*

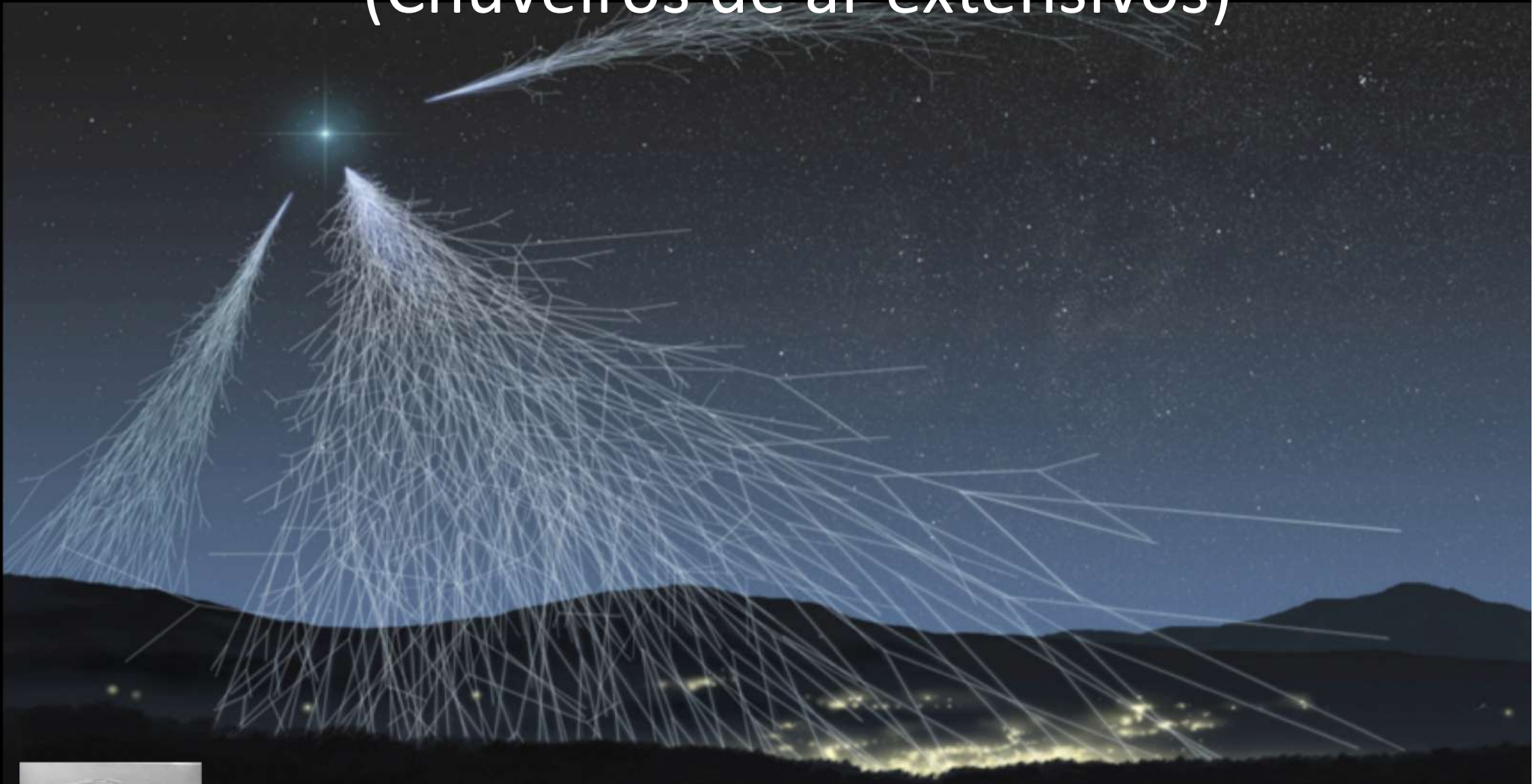
*CMS*

*ALICE*

Circumferência ~ 27 km



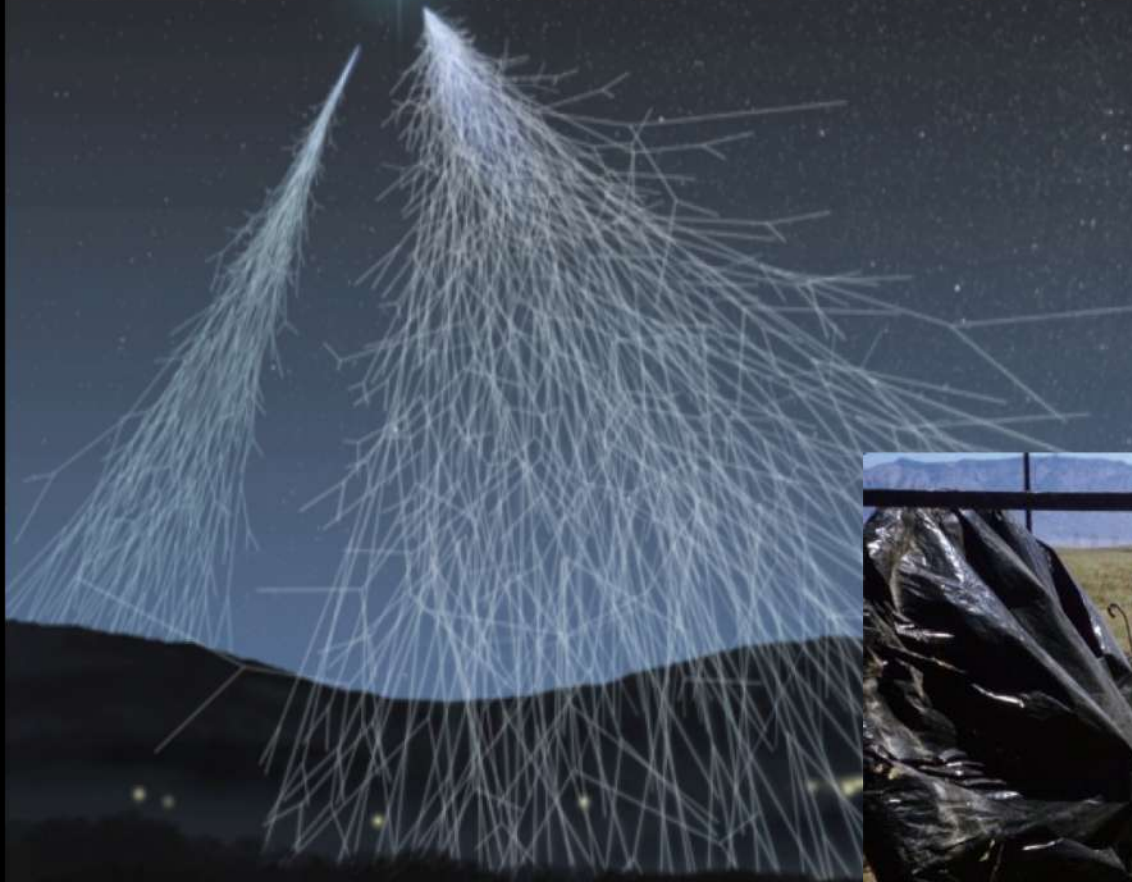
# Extensive Air Showers (Chuveiros de ar extensivos)



1937: Pierre Auger  
Raios C3smicos  $\sim 10^{15}$  eV



# Ultra High Energy Cosmic Rays (Raios C3smicos Ultra-Energ3ticos)



1962 John Linsley

**$\sim 10^{20}$  eV event**





Raios C3smicos Ultra Energ3ticos:

$10^{20}$  eV

10,000,000 x Energia LHC

Quais s3o as fontes?

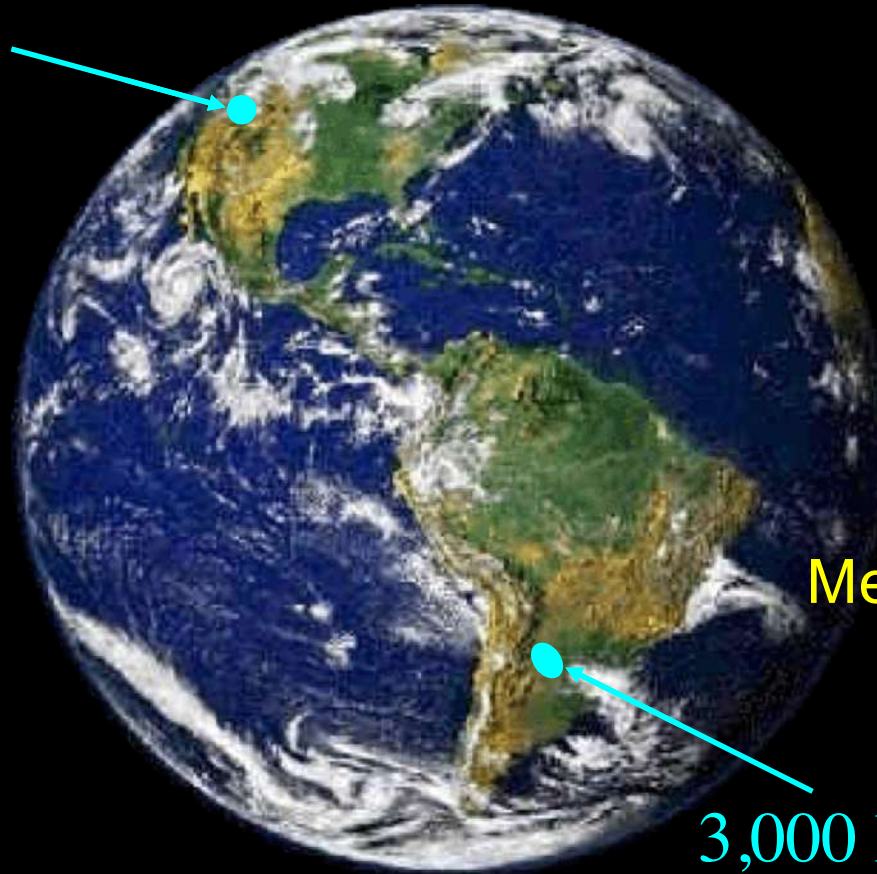
# Observatórios mais importantes de Raios Cósmicos Ultra-Energéticos

Telescope Array

Utah, USA

(5 country  
collaboration)

700 km<sup>2</sup> array  
3 fluorescence  
telescopes



Pierre Auger  
Observatory

Mendoza, Argentina

(19 country  
collaboration)

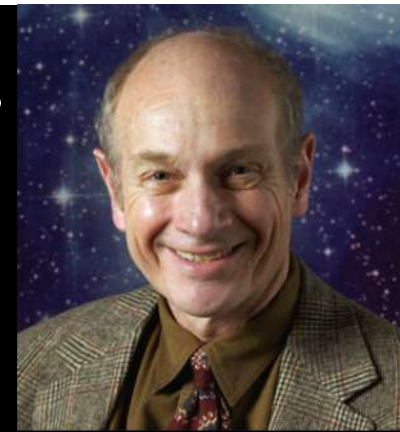
3,000 km<sup>2</sup> array

4 fluorescence telescopes

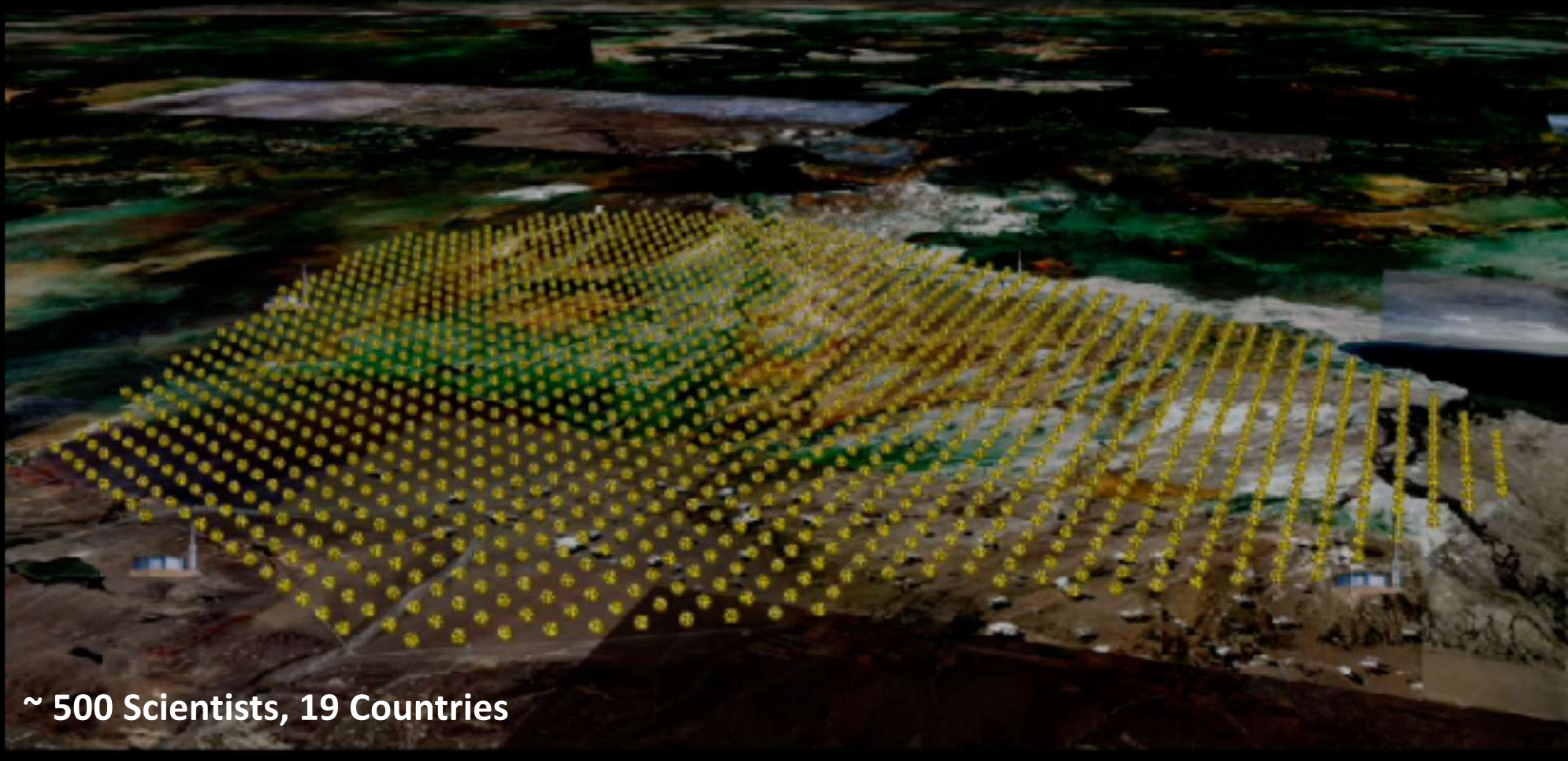


# Pierre Auger Observatory

3,000 km<sup>2</sup> water Cherenkov detectors array  
4 fluorescence Telescopes, Malargue, Argentina

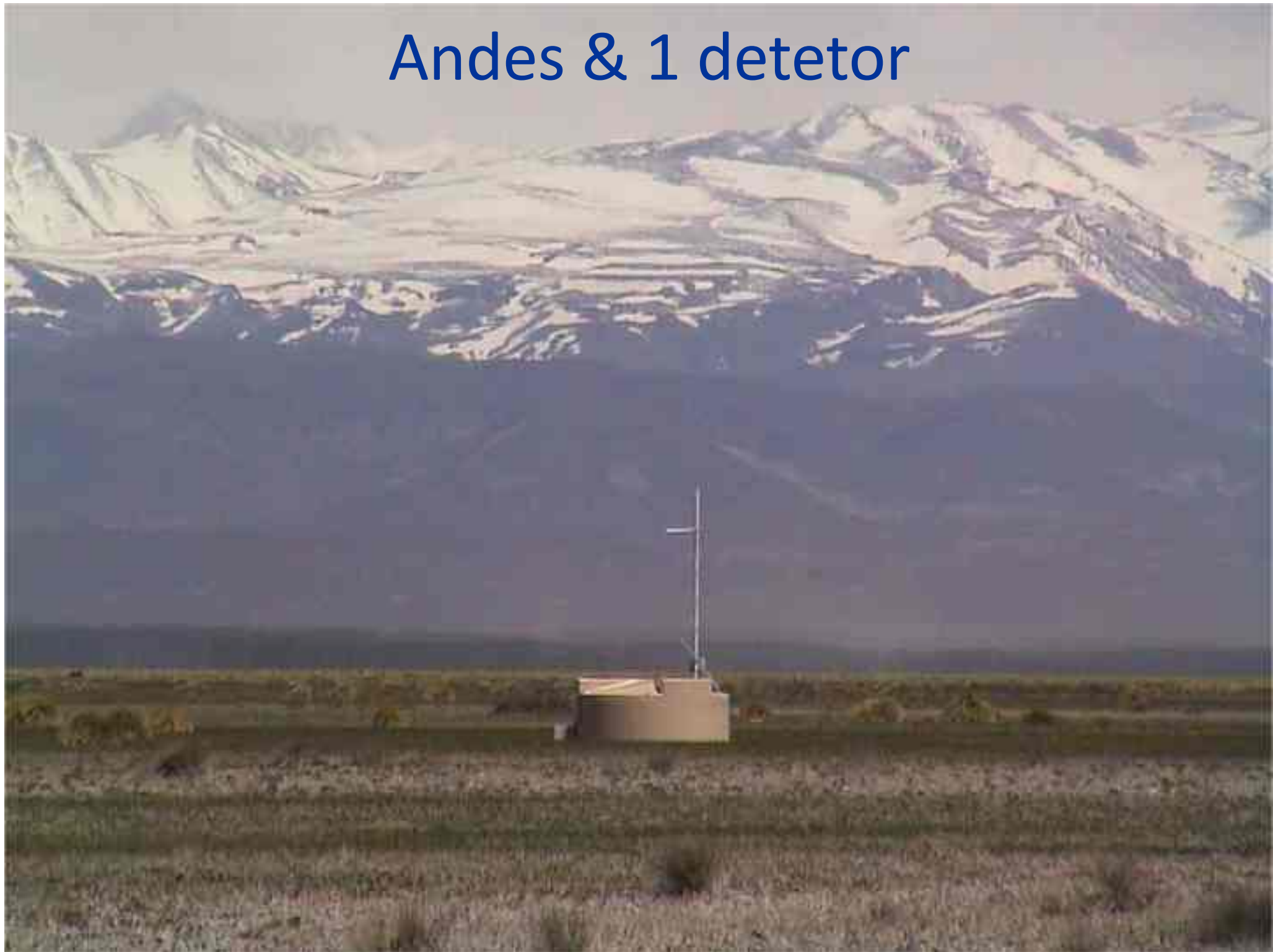


James W. Cronin  
1931-2016



~ 500 Scientists, 19 Countries

# Andes & 1 detetor



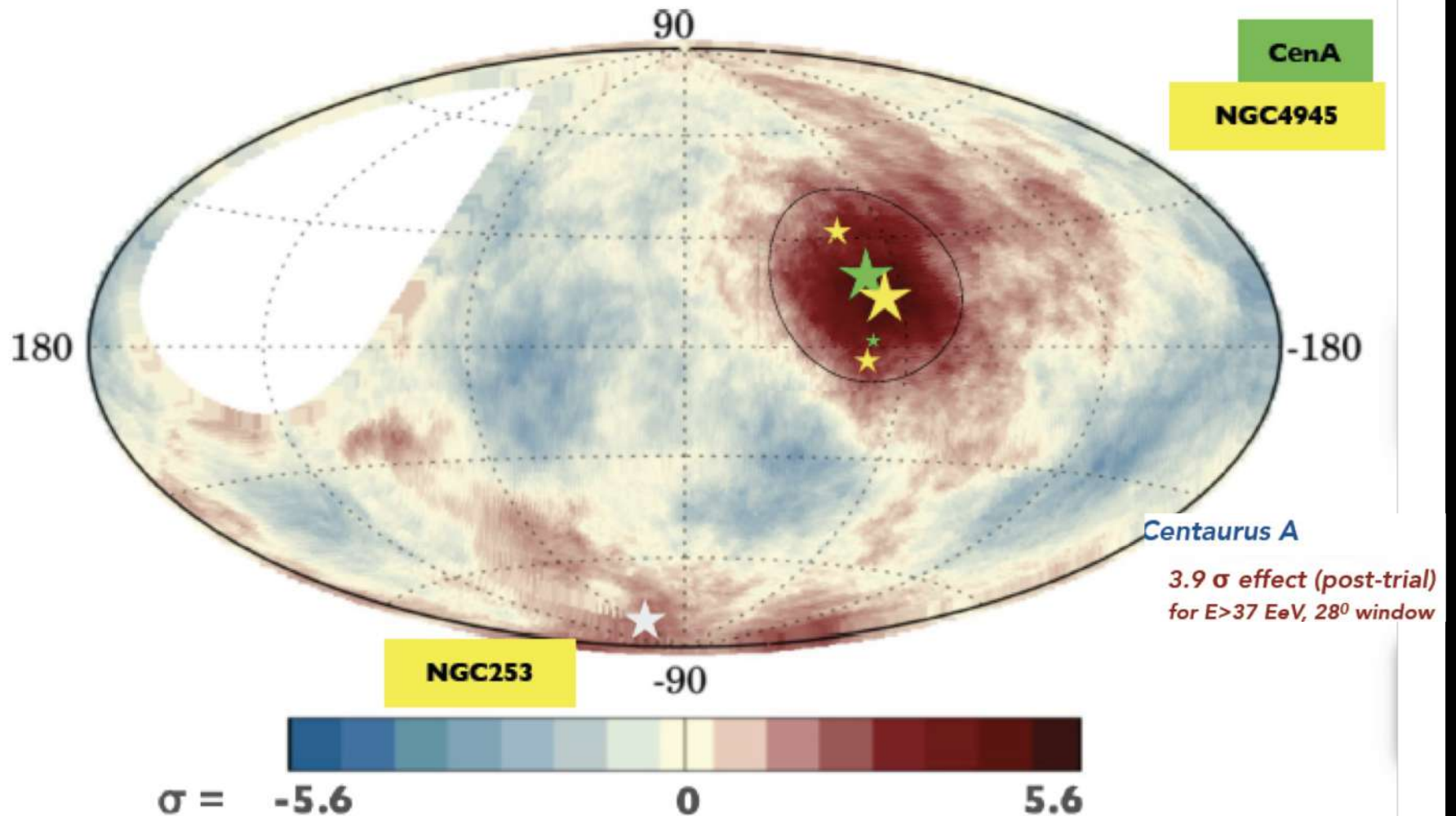
# 4 telescópios ultravioleta de fluorescência



# Sugestão das Anisotropias $> 4 \times 10^{19}$ eV

Total SD events with  $E > 32$  EeV : 2157  
Total exposure **101,400 km<sup>2</sup> sr yr**

**SBG: StarBurst Galaxies**  
**AGN: Active Galactic Nuclei**



# Galáxias Starbursts ou Núcleos Galácticos Ativos? Starbursts Galaxies or Active Galactic Nuclei?

M82 – Starburst Galaxy



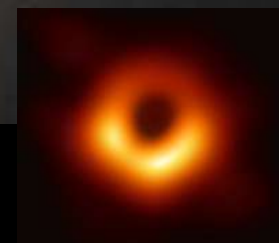
M87- AGN



Sculptor Galaxy NGC 253



Centaurus A – starburst + AGN



Event Horizon Telescope  
Image of M87

Galáxias Starbursts ou Núcleos Galácticos Ativos?  
Starbursts Galaxies or Active Galactic Nuclei?

M82 – Starburst Galaxy

M87- AGN

Quais são as fontes?

Sculptor Galaxy NGC 253

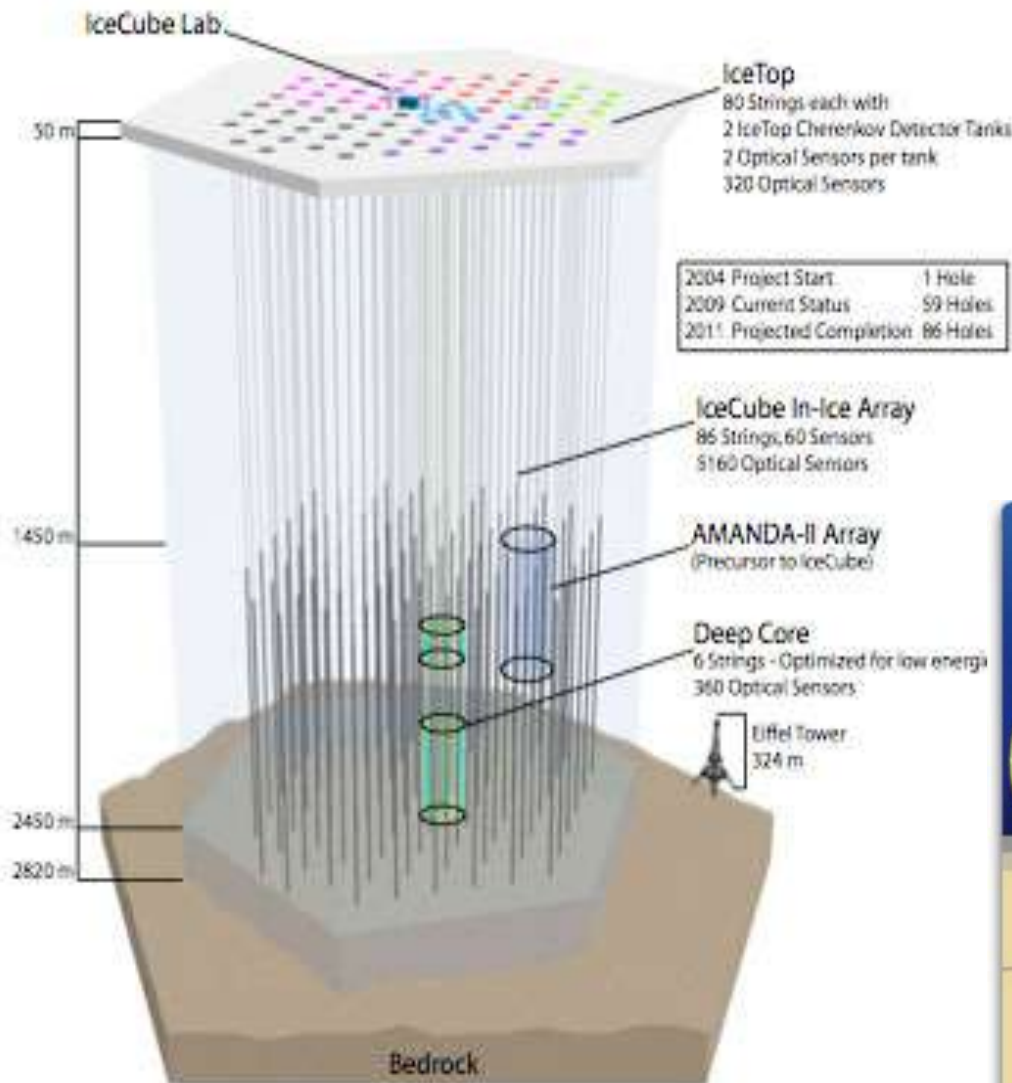
Centaurus A – starburst + AGN

Event Horizon Telescope  
Image of M87

# Telescópios de Neutrinos

IceCube – no Polo Sul

ANITA – vôos na Antártica



# Início da Astronomia de Neutrinos

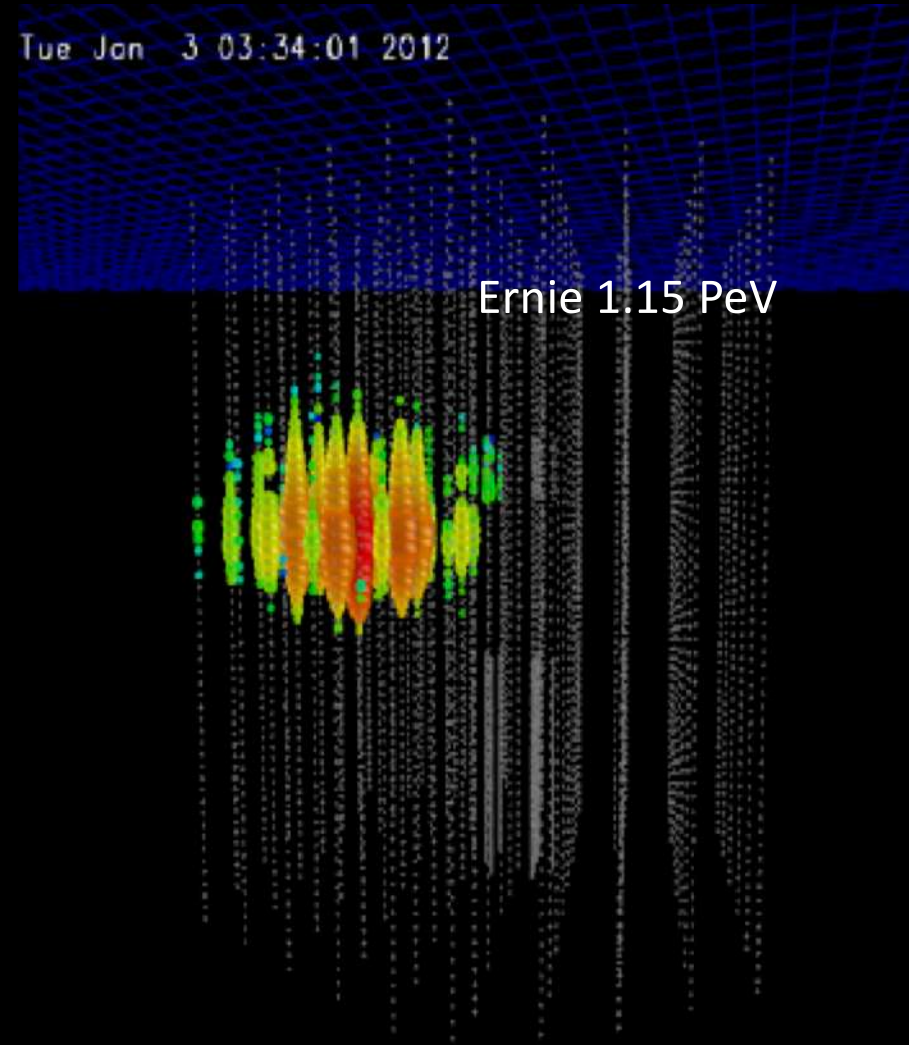
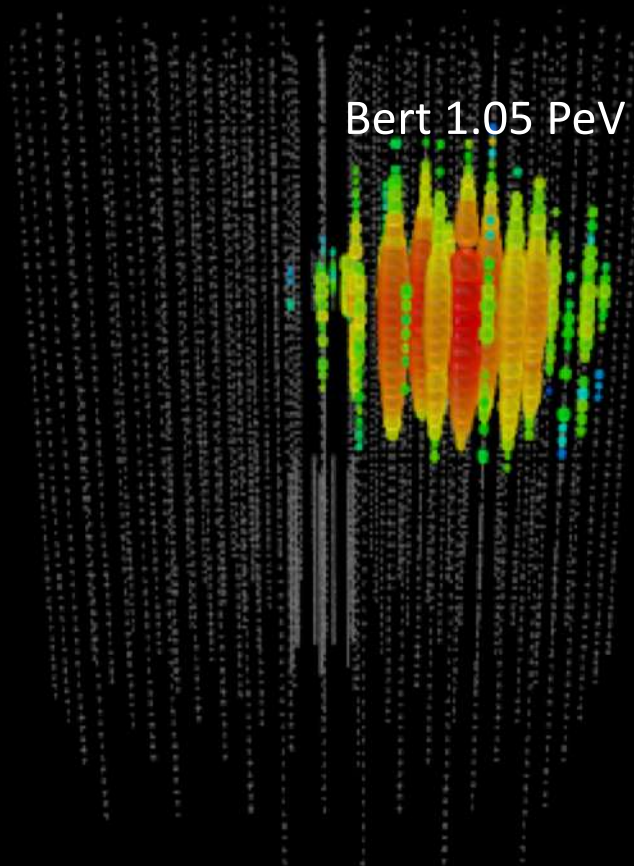
PeV ( $10^{15}$  eV) neutrinos first observed by IceCube (Apr'13)

Tue Aug 9 07:23:18 2011

Bert 1.05 PeV

Tue Jan 3 03:34:01 2012

Ernie 1.15 PeV





# POEMMA Design at NASA GSFC

IDL (Instrument Design Lab) Jul 31-Aug 4, 2017

MDL (Mission Design Lab) Oct 30-Nov 3, 2017



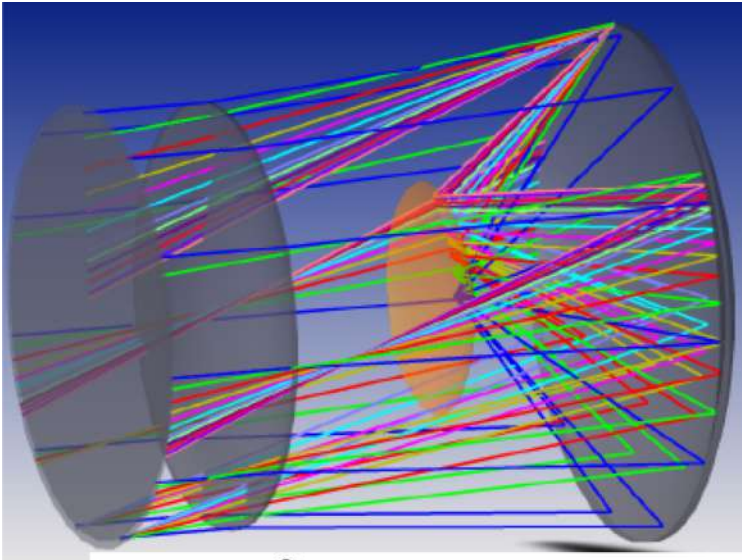
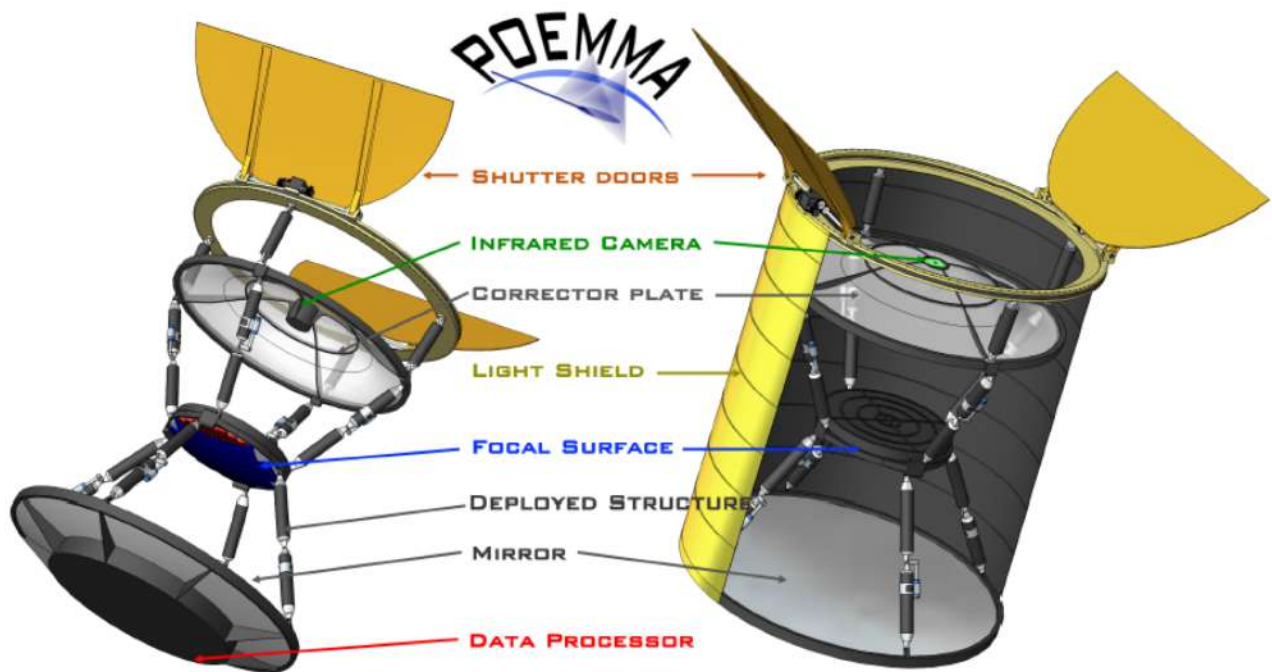
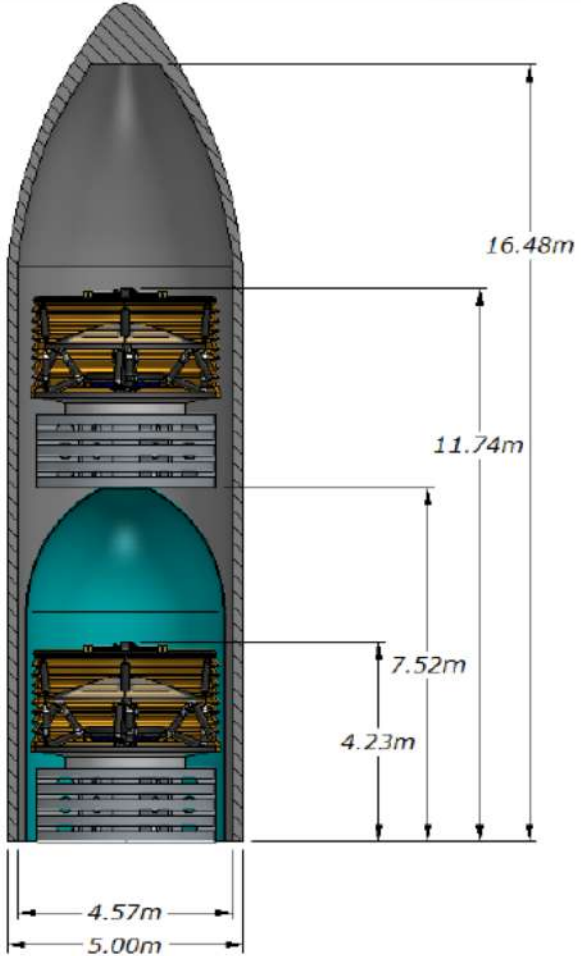
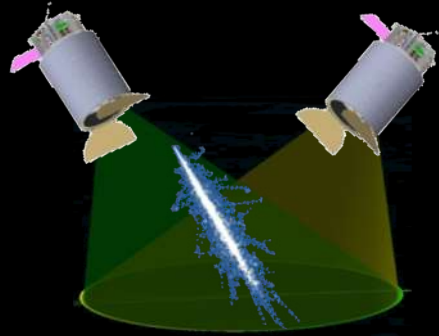


TABLE I: POEMMA Specifications:

Photometer Components			Spacecraft	
Optics	Schmidt	45° full FoV	Slew rate	90° in 8 min
	Primary Mirror	4 m diam.	Pointing Res.	0.1°
	Corrector Lens	3.3 m diam.	Pointing Know.	0.01°
	Focal Surface	1.6 m diam.	Clock synch.	10 nsec
	Pixel Size	3 × 3 mm <sup>2</sup>	Data Storage	7 days
	Pixel FoV	0.084°	Communication	S-band
PFC	MAPMT (1μs)	126,720 pixels	Wet Mass	3,450 kg
PCC	SiPM (20 ns)	15,360 pixels	Total Power	880 W
Photometer (One)			Mission	(2 Observatories)
	Mass	1,550 kg	Lifetime	3 year (5 year goal)
	Power	590 W	Orbit	525 km, 28.5° Inc
	Data	< 1 GB/day	Orbit Period	95 min
			Observatory Sep.	~25 - 1000+ km



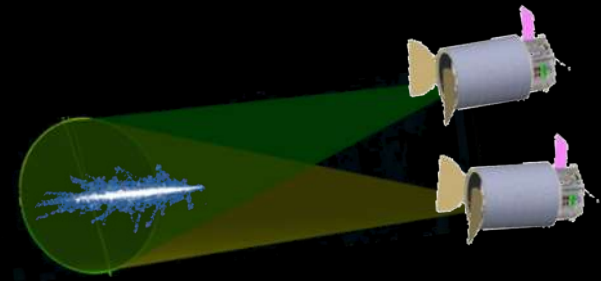
Each Observatory = Photometer + Spacecraft; POEMMA Mission = 2 Observatories



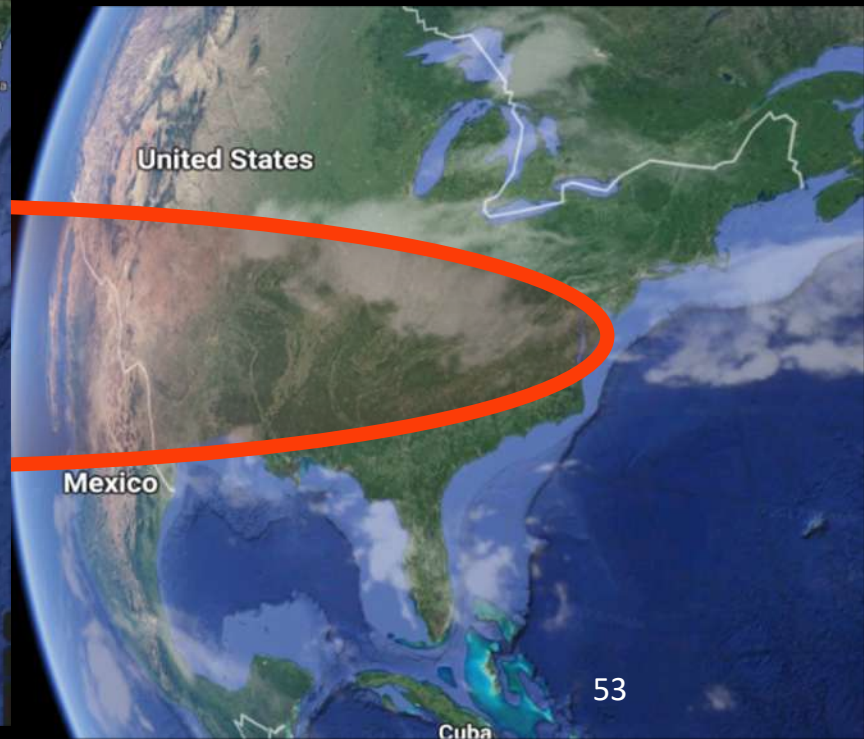
**Nadir for UHECR:**  
**Radius 200-400 km**



## Observing Modes

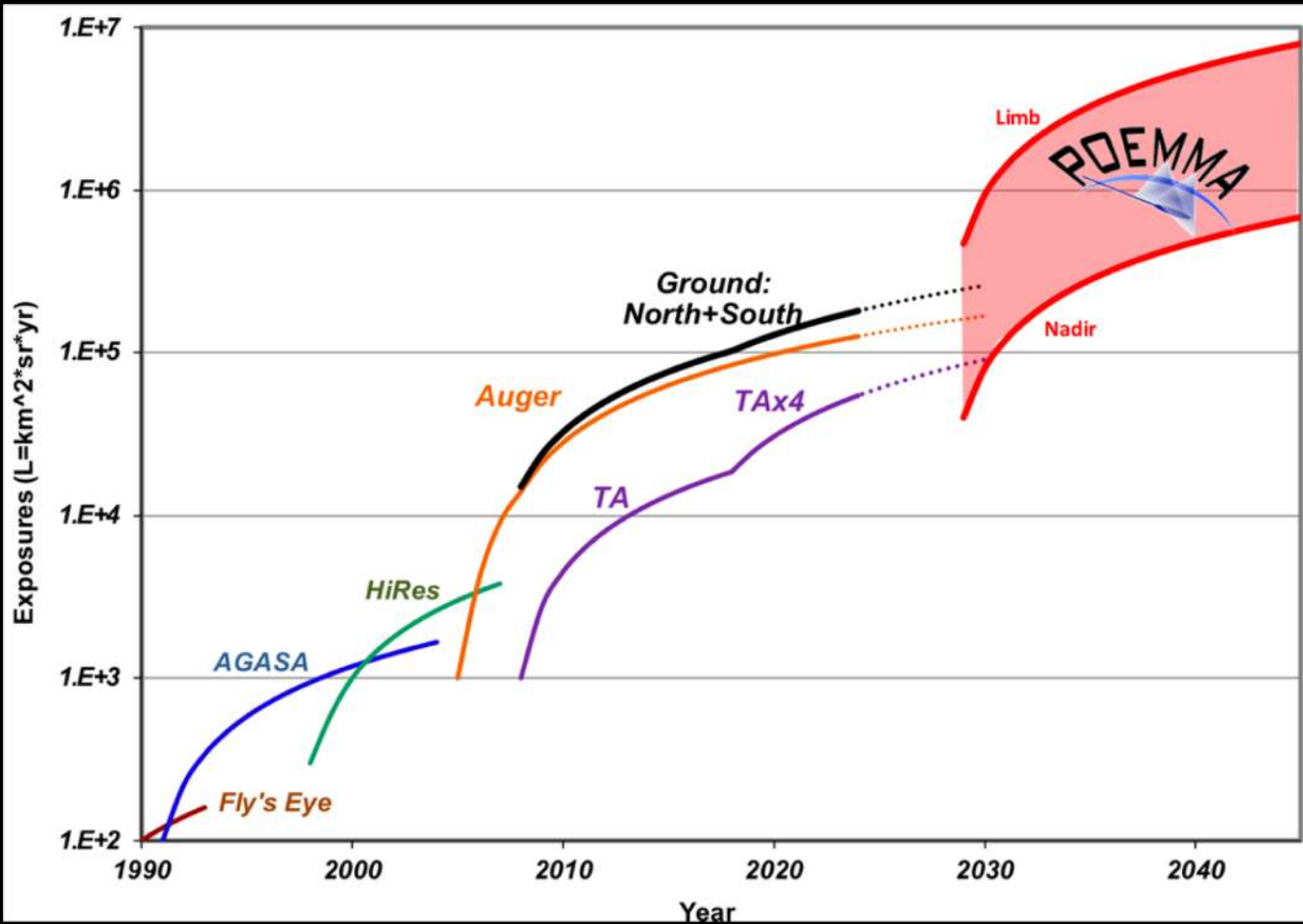
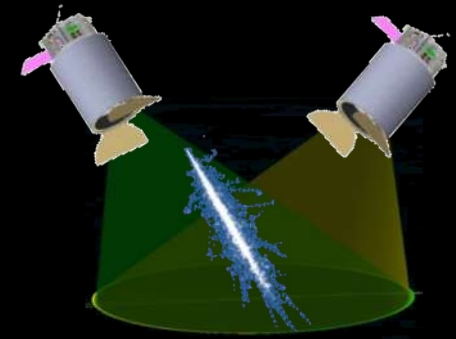


**Limb for Neutrinos & UHECRs**  
**Radius 2.6-3.7  $10^3$  km**

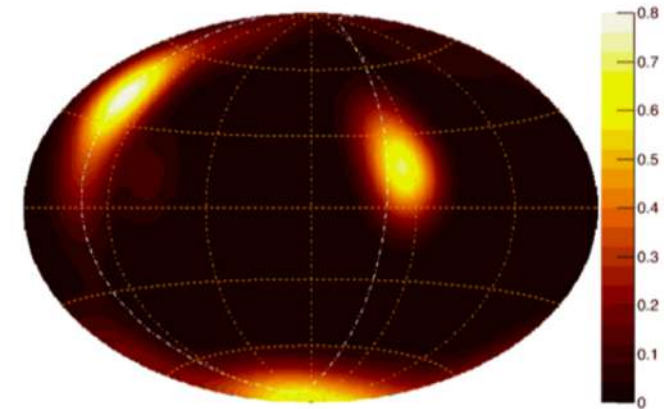




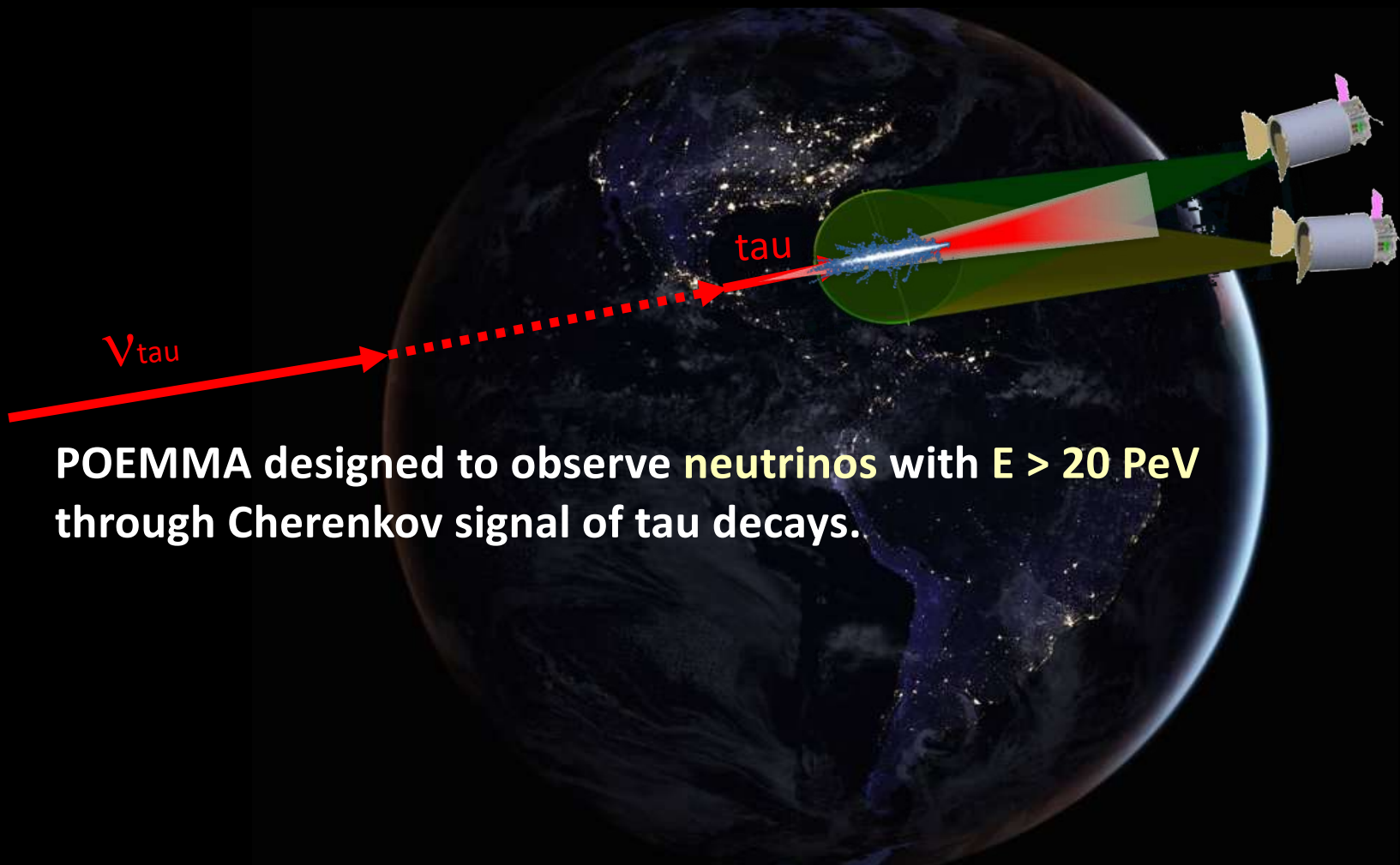
# POEMMA UHECR Exposure



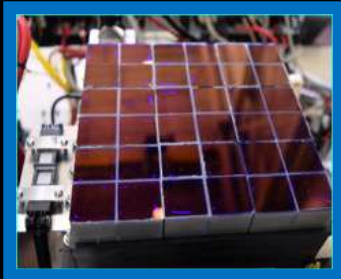
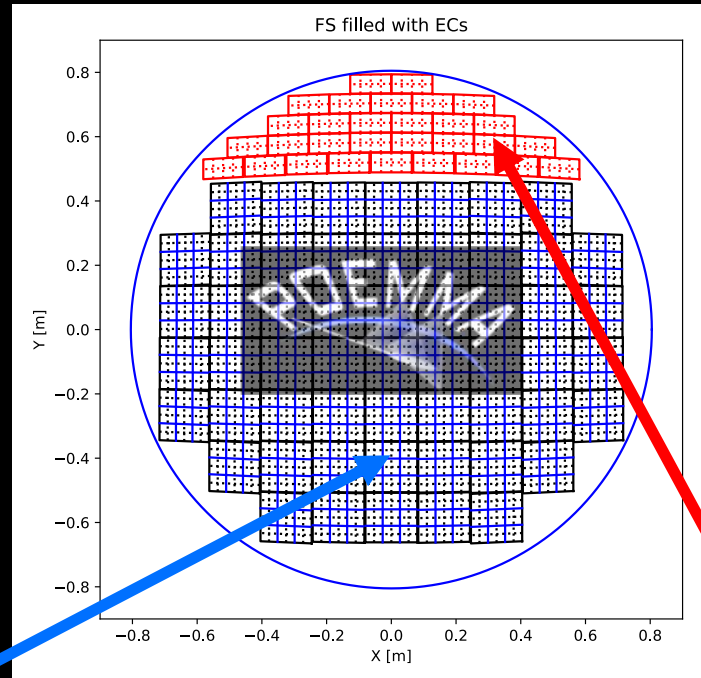
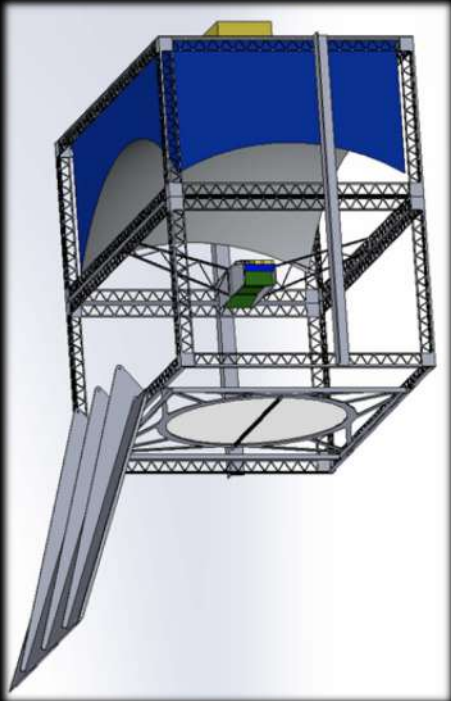
nearby Starburst Galaxies Fermi-LAT



# POEMMA Neutrinos

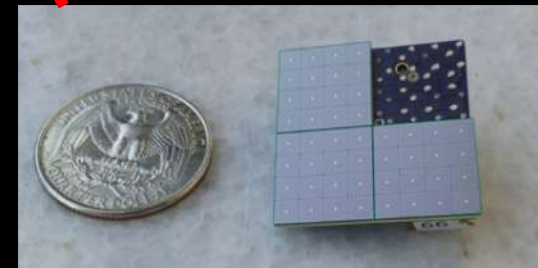
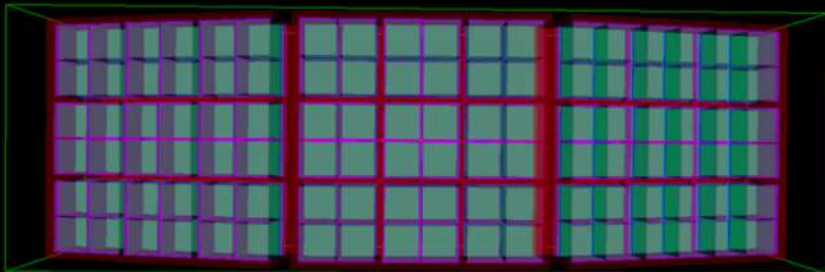


# EUSO-SPB2



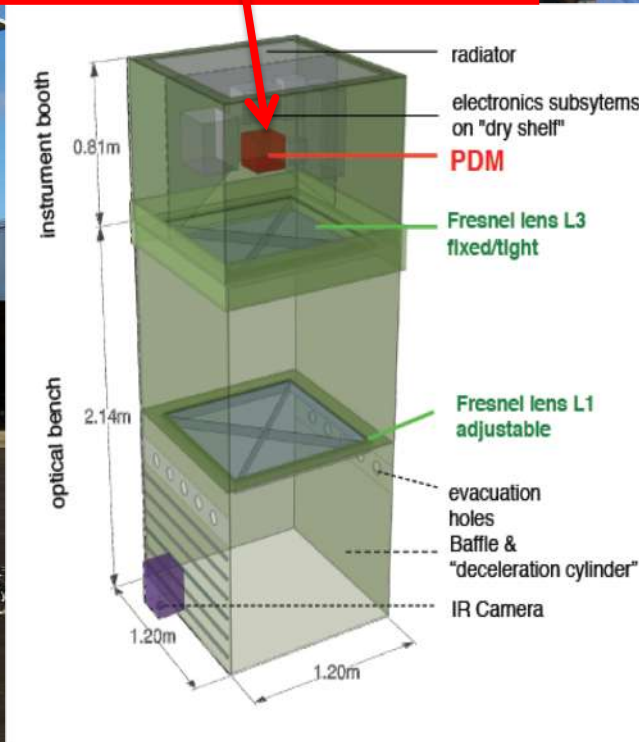
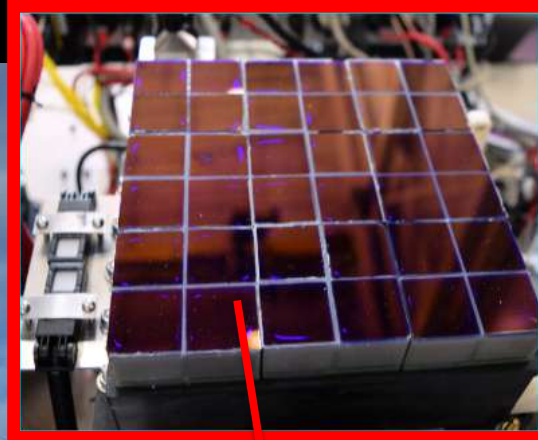
Fluorescence Camera  
MAPMTs; 1/microsecond  
1.000.000 fotos por segundo

Cherenkov camera  
SiPMs  
1/10 nanosecos  
100 Milhoes fotos/segundo

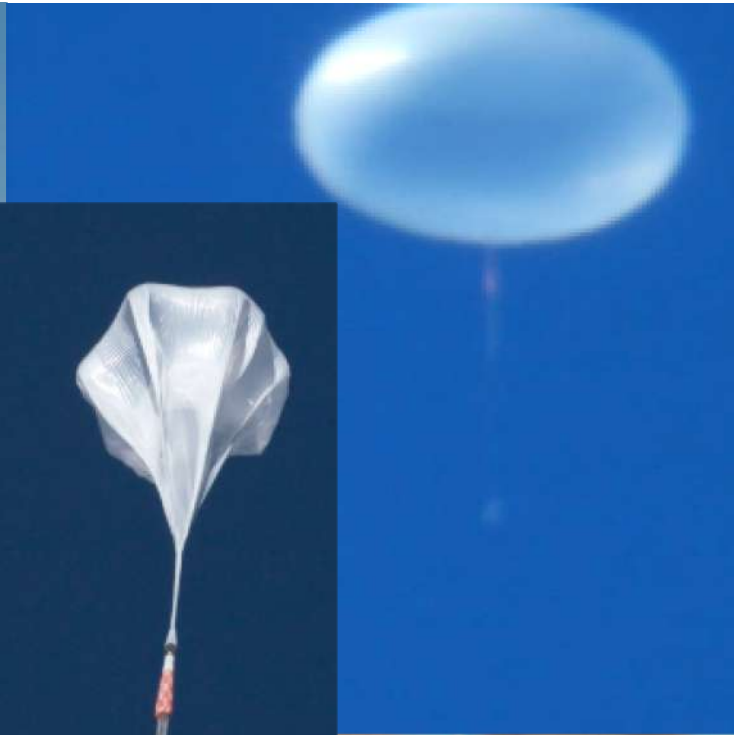


# EUSO-SPB 1

Extreme Universe Space Observatory on a  
Super Pressure Balloon



Ultrafast Camera:  
Photo-Detector Module  
(PDM)  
(3x3 ECs = 36 MAPMTS ;  
2,304 pixels)



EUSO-SPB  
launch,  
April 24,  
2017  
23:51 UTC



# WANAKA 2017 Campaign

## Super Pressure Balloon (SPB) EUSO mission



2015

NASA Engineering Flight



32 d 5 h

2016

COSI



46 d 20 h

2017

EUSO-SPB



12 d 4 h

# Mini-EUSO na Estação Espacial Internacional (ISS) em 2020

Планета Королёва — «УФ атмосфера»



<https://www.youtube.com/watch?v=IXedBGVHc4o&t=62s>

# Sondas Espaciais de Partículas Cósicas Ultra-Energéticas

**EUSO-SPB2**



Atmosfera Terrestre como  
Observatório de Partículas



# POEMMA

## UHECR and Neutrino Observations

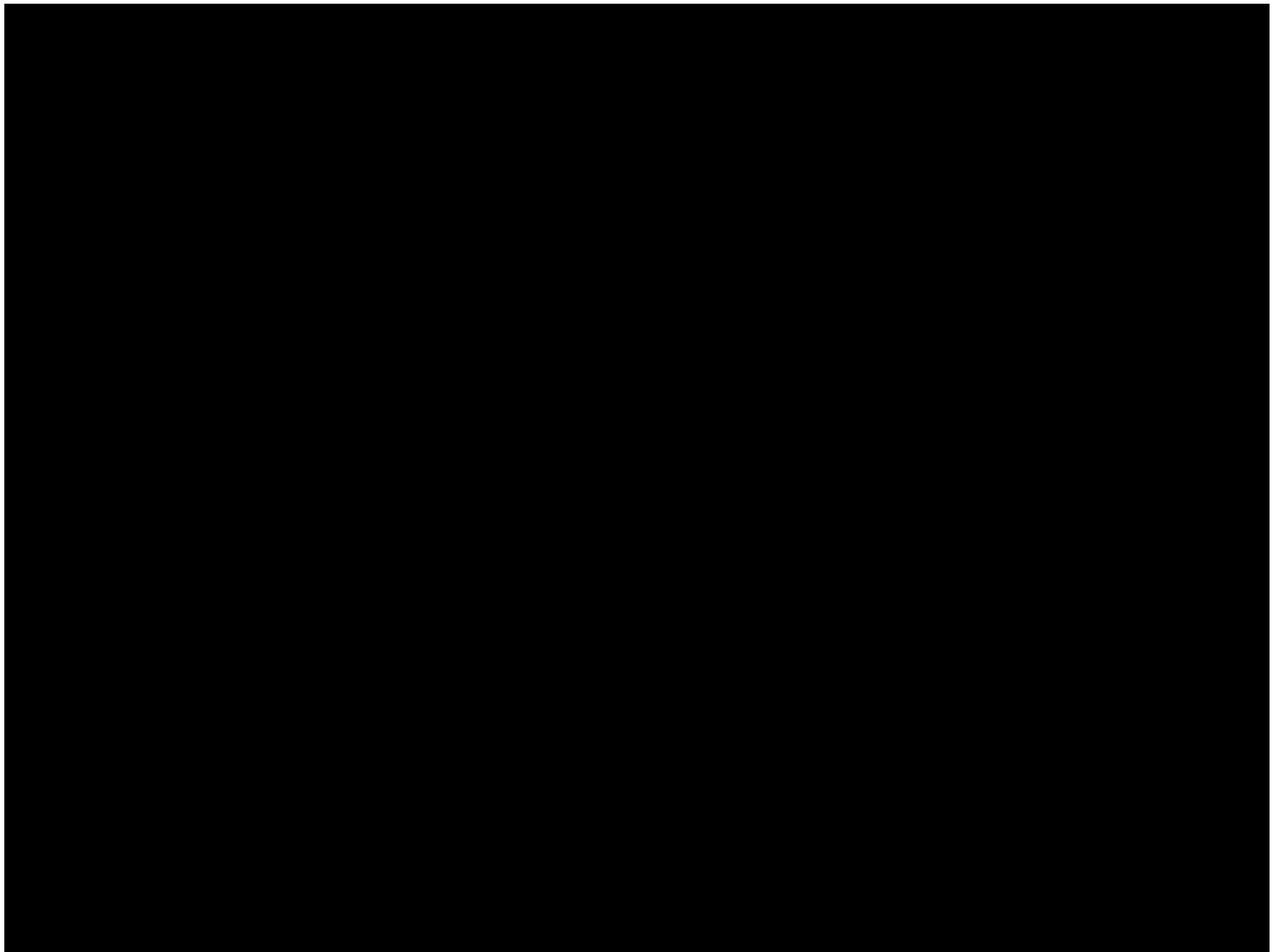


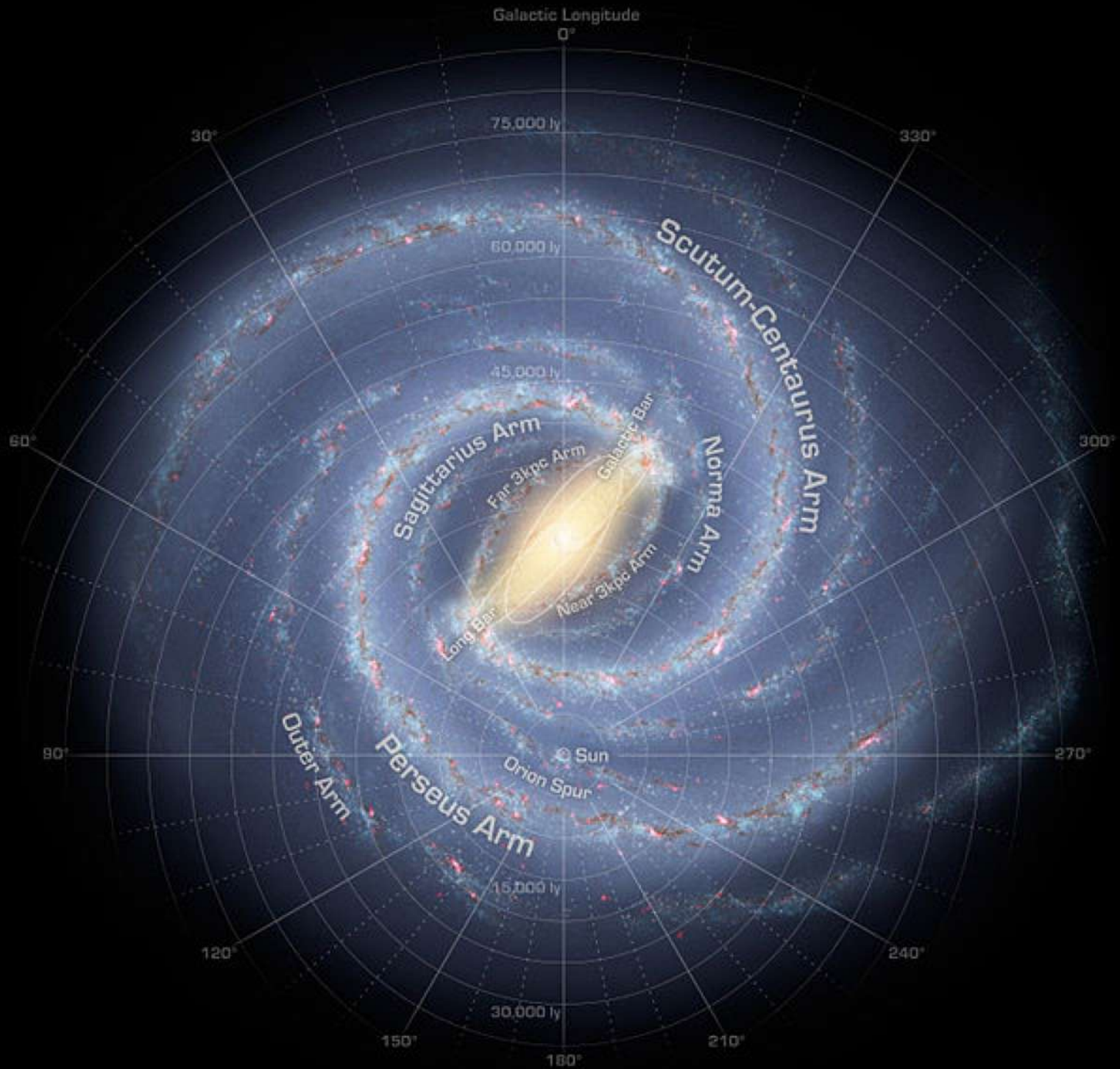
23 Oct 2017 16:00:10.000 Time Step: 10.00 sec



EUSO-SPB1 Launch from Wanaka, NZ  
April 24, 2017



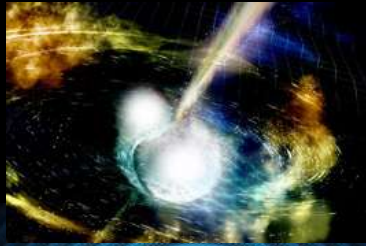




# Laboratórios Espaciais

Alpha Magnetic Spectrometer





Artist's rep NS-NS merger.  
Credit: Credit: NSF/LIGO/  
SSU/A. Simonnet.



Artist's rep WD-WD merger  
Credit: Ars Technica



Artist's rep BH-BH merger.  
Credit: NASA / JPL/  
Swinburne Astron.Prods

# POEMMA Neutrino TOO

(Targets of Opportunity)

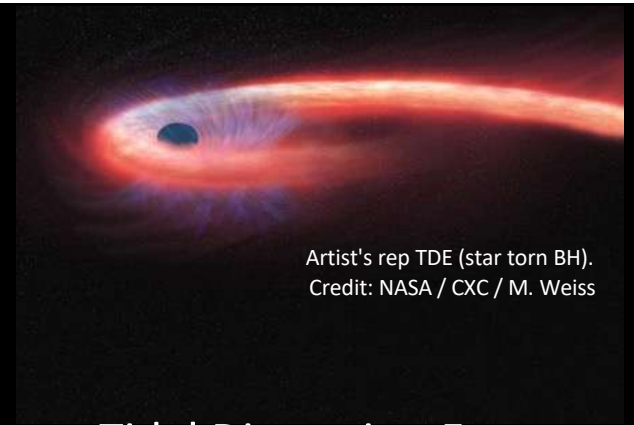
Venters et al 2019

**Transient Events**  
**few to 100 Million neutrinos/event**

**10 neutrinos up to 120 Mpc!**



arXiv:1906.07209



Artist's rep TDE (star torn BH).  
Credit: NASA / CXC / M. Weiss

Tidal Disruption Events

Newborn Pulsars



Crab 965 years ago!

Credit: Credits: X-ray: NASA/CXC/ASU/J.Hester et al.;  
Optical: NASA/HST/ASU/J.Hester et al.

## SWIFT NEUTRON STAR COLLISION V. 2

NS-NS merger Animation  
Credit: NASA/ GSFC/Berry & Drezek



ANIMATION: DANA BERRY  
310-441-1735

PRODUCED BY ERICA DREZEK

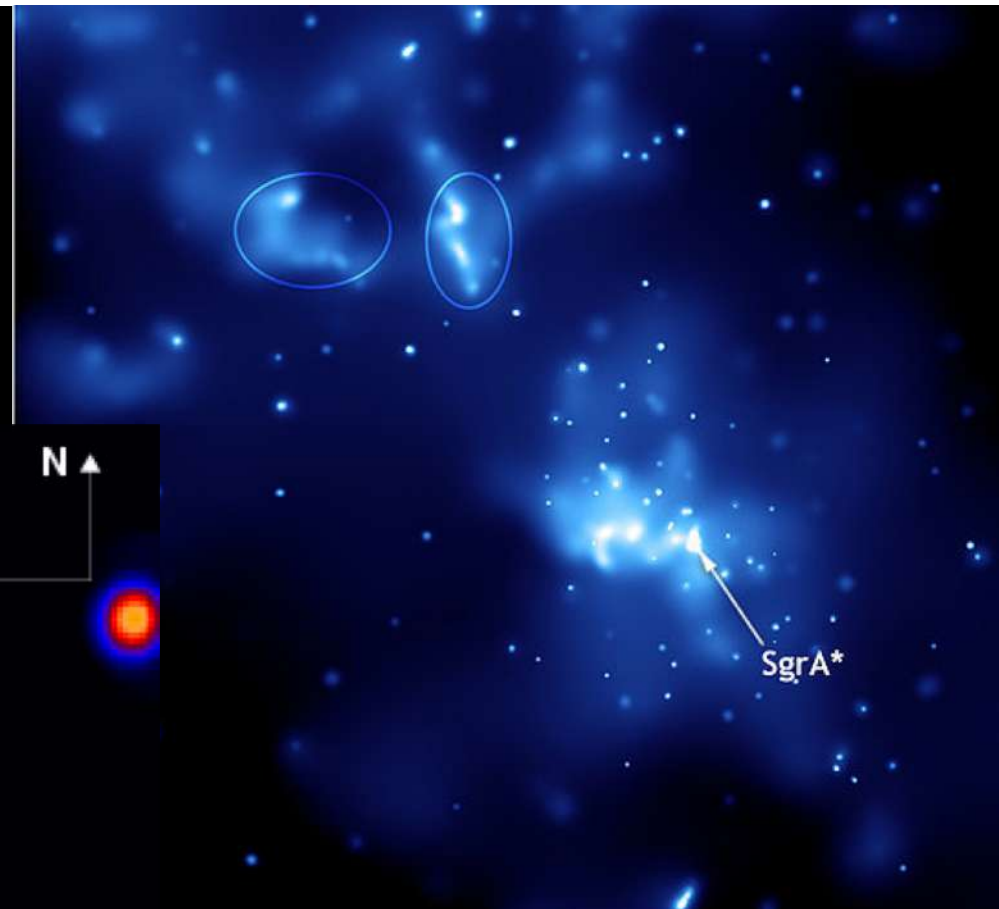
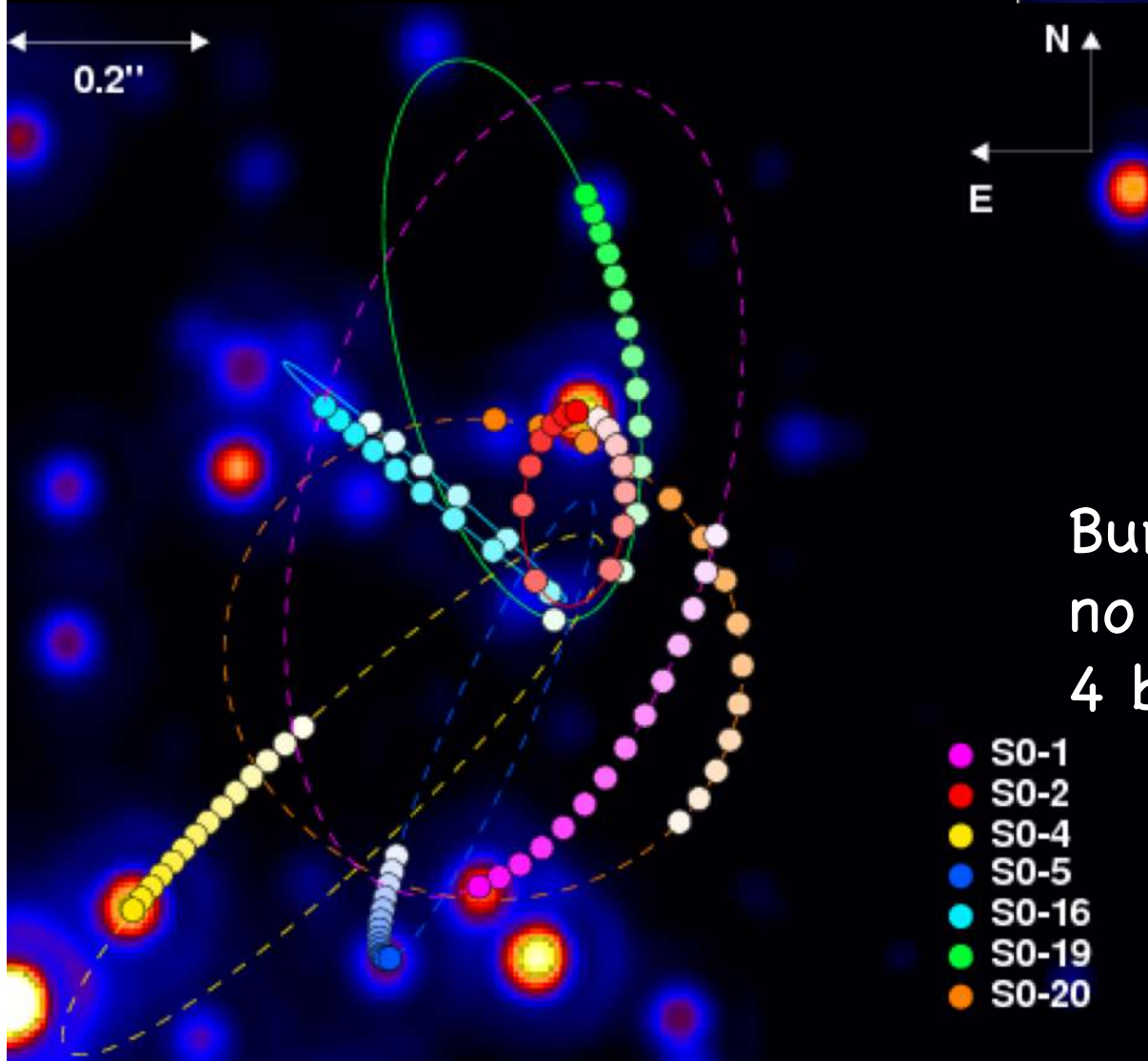
Long Bursts				
Source Class	No. of $\nu$ 's at GC	No. of $\nu$ 's at 3 Mpc	Largest Distance for 1.0 $\nu$ per event	Model Reference
TDEs	$1.12 \times 10^5$	0.77	2.64 Mpc	Dai and Fang [17] average
TDEs	$5.62 \times 10^5$	3.88	5.91 Mpc	Dai and Fang [17] bright
TDEs	$2.23 \times 10^8$	$1.44 \times 10^3$	115.20 Mpc	Lunardini and Winter [18] $M_{\text{SMBH}} = 5 \times 10^6 M_{\odot}$ Lumi Scaling Case
TDEs	NA*	$1.07 \times 10^3$	100.03 Mpc	Lunardini and Winter [18] $M_{\text{SMBH}} = 1 \times 10^5 M_{\odot}$ Strong Scaling Case
Blazar Flares	NA*	$1.91 \times 10^2$	42.96 Mpc	RFGBW [19] - FSRQ proton-dominated advective escape model
IGRB Reverse Shock (ISM)	$9.88 \times 10^4$	0.69	2.49 Mpc	Murase [15]
IGRB Reverse Shock (wind)	$2.05 \times 10^7$	143.75	37.36 Mpc	Murase [15]
BH-BH merger	$6.94 \times 10^6$	47.84	20.75 Mpc	Kotera and Silk [20] - $t_{\text{dur}} \sim 10^4$ s
BH-BH merger	$3.48 \times 10^9$	$2.4 \times 10^4$	477.8 Mpc	Kotera and Silk [20] - $t_{\text{dur}} \sim 10^{6.7}$ s
NS-NS merger	$3.58 \times 10^9$	24.75	12.76 Mpc	Fang and Metzger [21]
WD-WD merger	20.06	0	33.46 kpc	XMMD [22]
Newly-born Crab-like pulsars (p)	$1.56 \times 10^2$	$1.07 \times 10^{-3}$	98.27 kpc	Fang [23]
Newly-born magnetars (p)	$2.1 \times 10^4$	0.13	1.1 Mpc	Fang [23]
Newly-born magnetars (Fe)	$4.07 \times 10^4$	0.26	1.53 Mpc	Fang [23]

Binary  
Coalescence

Blazar Flares  
Gamma Ray Bursts



# Sargitarius A\*



Buraco Negro Supermassivo  
no centro da nossa Galaxia  
4 bilhões de Massas Solares

- S0-1
- S0-2
- S0-4
- S0-5
- S0-16
- S0-19
- S0-20